

МИНИСТЕРСТВО ГЕОЛОГИИ СССР  
ВСЕСОЮЗНОЕ АЭРОГЕОЛОГИЧЕСКОЕ НАУЧНО-  
ПРОИЗВОДСТВЕННОЕ ОБЪЕДИНЕНИЕ «АЭРОГЕОЛОГИЯ»

Уч. № 034

ГЕОЛОГИЧЕСКАЯ  
КАРТА СССР

МАСШТАБ 1:200 000

СЕРИЯ ДЖУГДЖУРСКАЯ

Лист О-53-XXX

Объяснительная записка

Составитель *A.L.Ставцев*  
Редактор *B.M.Моралев*

Утверждено Научно-редакционным советом ВСЕГЕИ

17 декабря 1964 г., протокол № 59

## ВВЕДЕНИЕ

Территория листа 0-53-XXX ограничена координатами  $56^{\circ}40'$  -  $57^{\circ}20'$ , с.ш. и  $137^{\circ}00'$  -  $138^{\circ}00'$ , в.д. По административному делению она относится к Аяно-Майскому району Хабаровского края РСФСР.

Любовь листа расположена в центральной части хр.Джуликур, который пересекает всю территорию листа с юго-запада на северо-восток. В центре от основного хребта отвечается крупный отрог, протягивающийся в северо-западном направлении.

Хребет Джуликур характеризуется сильно расчлененным рельефом с глубоко врезанными долинами, узкими, часто скальными водоразделами. Преобладающие абсолютные отметки вершин - 1400-1600 м., отдельные высоты поднимаются до 1700-1900 м. Относительные превышения достигают 800-1000 м. Хребет имеет асимметричное строение. Юго-восточные склоны значительно более крутые и расчлененные, чем северо-западные.

Хребет Джуликур является водоразделом бассейнов двух рек-ных систем. Все водотоки, берущие начало на северо-западном склоне хребта, принадлежат к бассейну р.Мая (приток р.Амдван). Все реки и ключи юго-восточного склона относятся к бассейну Охотского моря.

Реки района имеют горный характер, особенно резко выраженный для водотоков Охотского бассейна. Режим рек очень нестабилен: летом мелкие водотоки часто пересыхают, а после обильных дождей превращаются в бурные потоки.

Климатические условия на северо-западных и юго-восточных склонах хр.Джуликур значительно отличаются друг от друга. Так, для северо-западного склона характерен резко континентальный климат. Зима здесь продолжается 7-7,5 месяца - с октября до середины мая, лето короткое - три месяца (июнь-август). По дан-

листа в 60 км западнее верховьев р.Челясин, среднегодовая температура составляет  $-11.1^{\circ}\text{C}$ , среднемесячная температура самого холодного месяца (января)  $-41.4^{\circ}$ , самого теплого (июля)  $+15.2^{\circ}$ . Минимальная температура достигает  $-56^{\circ}$ , максимальная  $+30^{\circ}$ . Среднегодовое количество осадков 511 мм. На юго-восточном склоне хребта климат значительно мягче и влажнее, чем на северо-западном. Зима здесь более теплая, лето менее жаркое и значительно более влажное. По данным метеостанции Аян, расположенной в 65 км на юг от территории листа, на побережье Охотского моря, среднегодовая температура составляет всего  $-2.9^{\circ}$ , среднемесячная температура самого холодного месяца (января)  $-20.3^{\circ}$ , самого теплого (августа)  $+13.5^{\circ}$ . Минимальная температура не опускается ниже  $-35^{\circ}$ , максимальная не поднимается выше  $+25^{\circ}$ . Среднегодовое количество осадков составляет 889 мм, из них 722 мм выпадает летом и осенью (июль – октябрь).

Район характеризуется развитием островной многолетней мерзлоты. Наибольшего распространения последняя достигает на водоразделах и северных склонах.

Наиболее часто встречаются подзолистые горно-таежные почвы, на которых растет мелкая редкоствольная лиственничная, значительно реже – сосновая тайга. По долинам рек растут крутая лиственница, ель, бересклет, ольха, рапана, тополь, ива. Особенность лесов поднимается до отметок 1000–1100 м, выше расположены кустарников, состоящий из густых трудно проходимых зарослей кедрового стланника и карликовой берескви. Выше отметок 1300–1500 м простирается горная тундра.

Животный мир довольно разнообразен. Встречаются горный баран, лось, из хищников – бурый медведь, речной волк, горностай, соболь; часто встречаются белка и бурундук. Из боровой дичи имеются рябчик, куропатка, глухарь, на крупных реках можно встретить уток и гусей. В реках водится ленка, хариус, в реках восточного склона – малъма, кета, горобуша.

Постоянными жителями района являются линейные нациометришики, обслуживающие телефонную линию Якутск – Аян и проживающие в пунктах Кочуково, Назарово, Семилесский. Телефонная линия пересекает территорию листа с северо-запада на юго-восток и проходит по долинам рек Челясин, Гоночан, Алдома.

Единственными путями сообщения являются южные тропы по долинам большинства крупных рек. Наиболее торная проходит южной телефонной линии Якутск – Аян. Ближайший аэропорт расположен

листа в 60 км западнее верховьев р.Челясин, среднегодовая температура составляет  $-11.1^{\circ}\text{C}$ , среднемесячная температура самого

холодного месяца (января)  $-41.4^{\circ}$ , самого теплого (июля)  $+15.2^{\circ}$ .

Минимальная температура достигает  $-56^{\circ}$ , максимальная  $+30^{\circ}$ . Среднегодовое количество осадков 511 мм. На юго-восточном склоне хребта климат значительно мягче и влажнее, чем на северо-западном. Зима здесь более теплая, лето менее жаркое и значительно более влажное. По данным метеостанции Аян, расположенной в

в пос.Алдома, в 36 км к востоку от описываемой территории.

До конца 30-х годов о геологическом строении территории листа в литературе появлялись лишь редкие и разрозненные сообщения (А.Ф.Миддендорф, 1844 г.; Н.Г.Мелицкий, 1851 г.; К.И.Богданович, 1899 г.; В.Н.Зверев, 1913 г.). В настоящее время эти сведения представляют лишь исторический интерес. Планомерные геологические исследования начались с конца 30-х годов.

В 1937 г. в бассейне рек Челясин и Архай проводилась геологическая съемка масштаба 1:500 000 под руководством Д.К.Дзевановского (1946ф). В результате этой работы широкие довольно

полно освещено геологическое строение сложного района и составлено, по существу, первая геологическая карта. Видение для территории листа приведено дробное стратиграфическое расчленение осадочной толщи и сопоставление ее разреза с разрезом аналогичных образований ряда смежных районов. Осадочные породы расценены Д.К.Дзевановским на три свиты: мильскую, челясинскую и нельканскую. В шоколадно-коричневых мергелях челясинской свиты

Д.К.Дзевановским отмечены остатки трилобитов *Triangulaspis megistalis* (Toll) и *Pagetellus lenatus* (Toll). На основании этого Д.К.Дзевановский относит все осадочные отложения к кембрийской системе и объединяет их в единий непрерывный цикл осадконакопления. Однако более поздними исследованиями (Ярмолик, 1946; Богоюзовская, 1958ф, Станисев, 1961ф) установлено, что осадочная толща, описанная Д.К.Дзевановским, в основной своей части относится к верхнему протерозою, образования же нижнего кембрая развиты незначительно. В последних, в верховых р.Архай, и были найдены Д.К.Дзевановским остатки трилобитов. Д.К.Дзевановский впервые дает подробное описание и возрастное расчленение сложного комплекса мезо-кайнозойских аллювиальных пород. Выделяются следующие свиты снизу вверх: порфириты и туфы верхней припорфиритной зоны; порфириты и порфириты верхнего мела; базальты третичного возраста.

В 1944 и 1949 гг. в районе проводились поисковые работы на золото под руководством В.А.Шмырина, Шишкановой, Ярмолика (Шишканова и Ярмолик, 1952ф). Этими работами установлена золотоносность рек Бол.Комуя и Илячан.

В 1956 г. вся территория листа была покрыта аэромагнитной съемкой масштаба 1:200 000, проводившейся партией Алданской экспедиции ВАГТа под руководством Е.Г.Херувимовой и В.А.Ларионова. В результате съемки локальных аномалий выявлено не было

В 1957-1958 гг. на территории листа проводились поисковые работы специализированной экспедицией Первого главка Министерства геологии и охраны недр, в результате которых было обнаружено несколько проявленных реликвий мезолитических элементов в северо-

В 1957-1958 гг. на площади листа проводилась геологическая съемка масштаба 1:200 000 Алданской экспедицией ВГГА силами трех партий под руководством В.А.Ботезату, И.П.Кузнецова и

лений меди, железа, молибдена и ореолы рассеяния минералов син-  
тетического золота, никеля, меди, цинка и др.

В 1960-1961 гг. геологом Алданской экспедиции ВАГТа М.С.Барановой (Алексеев, 1961б) проводились тематические работы с целью установления стратиграфического положения "байкальских слоев". Последние представляют собой мощные толщи существенно терригенных пород, развитые в верховьях рек Былячин, Большой и Мал.Камуй, стратиграфическое положение которых было неясным.

М.С.Барановой было обнаружено смешано-шиковое гидроразложение.  
В 1960-1961 гг. с целью подготовки листа к изанию были  
проведены редакционные и маршрутные поисковые работы партией  
Алтайской экспедиции ВАГТа в составе А.Л.Станцева, М.А.Тарховой

СТРАТИГРАФИЯ

Геологическая карта листа 0-53-XXX полностью согласована с находящейся в издании геологической картой листа 0-53-ХХХI. Расхождение имеется лишь в индексации верхнечетвертичных отложений, расчленение которых на щита листа 0-53-XXX повторяется. Найдены находками фауны в близлежащих районах, а также дополнительным количеством данных палеонтологических анализов.

Стратифицирование образования в пределах территории листа занимает примерно половину всей его площади. При этом прошли- зительно в одинаковой степени развиты отложения среднего и позд- него протерозоя и кембрийской системы, а также вулканические об- разования магматической и палеогеновой систем. Широко распространены рыхлые отложения четвертичной системы.

ПРОТЕРОЗОИДЫ

Наиболее древними образованиями в пределах территории листа являются терригенно-карбонатные отложения протерозоя. Помимо их в пределах площади листа не наблюдается, однако в не-посредственной близости, западнее, они трансгрессивно, с резким

М.А.Беэра и К.Г.Чепкиной (Станев, 1961). В результате редакционных работ также были получены данные, подтверждающие возможность отнесения "былинческих слоев" к нижним горизонтам верхнепретороскских отложений. Установлено, что кислые зандузы-

угловым несогласием ложатся на нижнепротерозойские отложения.

Перекрываются протерозойские отложения кембрийскими осадочными и мезодайкими вулканогенными образованиями. На плоских листах отложений протерозоя развиты преимущественно в северных и западных частях района, в бассейнах рек Челасин и Бол.Камуй.

Обнаженность пород протерозоя неравномерная. В большинстве случаев отложения протерозоя картируются по эрозионным образованием. Коренные выходы встречаются сравнительно редко. При этом большей частью они примурованы к центральной части хр.Джутдакур и отмечаются в береговых обрывах и доколых речных террас. Проделать полные разрезы смыт в коренном залегании удается крайне редко (малгинская смыта).

На восточной окраине Алданского шита протерозойские отложения расчленяются на четыре серии (снизу вверх): уянскую, яучурскую, маккую и уйскую. Каждая из этих серий отвечает самому постоянному типу осадконакопления. Их начало начинается с грубых терригенных отложений, которые вверх по разрезу меняются более тонкими глинистыми образованиями, затем карбонатными породами, и заканчивается разрез карбонатно-терригенным отложением. Наиболее полно такая закономерность наблюдается в яучурской серии. Неполными, существенно терригennыми являются уянская и уйская серии. Для нижней – уянской серии наряду с терригенными характерами вулканогенные образования. Между всеми сериами наблюдаются перерывы и разрывы. Исключение составляет лишь уйская серия, отложения которой залегают на образованных ячейкой серии. Неполными, существенно терригennыми являются ячейской серии без видимого перерыва. Каждая серия по литологическим признакам разделяется на ряд смыт. В пределах территории ячейской серии, отложения которой залегают на образованных ячейской серией без видимого перерыва. Но уянская, ячейская и уйская серии представлены лишь самыми нижними смытами – соответственно алгатейской, гонанской и каньской.

Разрез ячейской серии в пределах профиля листа почти. Суммарная мощность протерозойских отложений достигает 5,5 км.

#### СРЕДНИЙ ПРОТЕРОЗОЙ

##### Уянская серия

Элгэтэйская свита (Рис. 4) <sup>1/</sup> распространена незначительно, главным образом, в северо-восточной ча-

<sup>1/</sup> В Уянской серии имеется лишь одна алгатейская смыта. Определенный радиологическим методом возраст квартовых пород, разделенный радиологическим методом возраст квартовых пород из отложений алгатейской смыты, по данным И.Н.Гамалея (1963), составляет 1615 млн. лет. Примыкающие к отложениям алгатейской смыты из уянского прогиба, примерно в 100 км юго-западнее описываемого района.

сти плоскими листами, в бассейнах рек Былячин и Джакдак-Аланда. Кроме того, породами алгатейской смыты сложены небольшие кесоны, лежат в массиве мезодайкских гранитоморфов в бассейне рек Алдома и Таны. Элгэтейская смыта представлена монотонными розовыми, редко пыльцевыми, зелеными, флюшовыми и зеленовато-серыми аркозами и кварцевыми песчаниками, которые переслаиваются с мелющими прослоями лав красных и красновато-бурых кварцевых пород. Простолом отдельных разностей песчаников невидимы как по простиранию, так и по мощности, и часто связаны между собой постепенными переходами. Иногда наблюдается косая слоистость. Изредка встречаются прослои алевролитов, очень редко – светлобурых доломитов.

Размеры обломочных зерен в песчаниках колеблются от 0,5–1 до 3–5 мм. Обломочные зерна (до 90% породы) представлены преимущественно кварцем и микрокином. В подчиненном количестве (10–20%) присутствуют нерешетчатый калиевый полевой шпат, плагиоклаз и обломки кварцевых породов. Цемент (10–30%) чаще всего регенерационный кварцевый, реже серпентин или железистый.

Кварцевые породы имеют портландовую структуру. Во вкрапленниках (20–30%) наблюдаются квадратные, кислый плагиоклаз (альбит–олигоклаз) и калиевый полевой шпат. Основная масса (70–80%) состоит из агрегата кварца и калиевого полевого шпата.

Структура основной массы микропикалевая, реже сферолитовая и фельзитовая. Очень широко развиты гидроокислы железа, обусловливающие розовую окраску породы.

Элгэтейская смыта прорвана многочисленными пластовыми и, возможно, секущими телами поздне-среднепротерозойских диабазов. Не исключена возможность, что часть из них также является покровами, а не пластовыми телами.

Породы алгатейской смыты интенсивно динамометаморфизованы, часто песчаники катаклизированы, рассланцовены и миллиметрованы.

Величина мощность алгатейской смыты более 800 м.

Определенный радиологическим методом возраст алгатейской смыты по данным И.Н.Гамалея составляет 1615 млн. лет, а по данным А.И.Тугаринова – 1840 млн. лет, то есть она отнесена к среднему протерозою.

<sup>1/</sup> На геологической карте вследствие технической ошибки алгатейская смыта обозначается индексом верхнего протерозоя.

ВЕРХНИЙ ПРОТЕРОЗОЙ  
УЧУРСКАЯ СЕРИЯ

**Гонамская свита (Pt<sub>3</sub>gn).** Отложения гонамской свиты развиты в бассейнах рек Былякчан и Джагдак-Аваланда.

Гонамская свита сложена песчаниками, алевролитами и аргиллитами, которые с размывом залегают на алгатэйской свите. Начинаясь до 50 м с обильной галькой кварца, кварцевых породиров, песчаников и алевролитов, cementированной аргозовым и кварцевым песчаником.

Выше залегает монотонная толща розовых, сиреневых, реже зеленых, серых и зелено-серых аргозовых и кварцевых песчаников, совершенно аналогичных песчаникам алгатэйской свиты. Среди песчаников в резко подчиненном количестве присутствуют проплоды вишнево-красных алевролитов и аргиллитов. Песчаники, как правило, интенсивно рассланцованны и катаклизированы. Отложения гонамской свиты прорваны пластовыми и иногда, возможно, скучинами телами диабазов, часто минерализованных. Мощность гонамской свиты определяется в 800 м.

Майская серия

Майская серия расщепляется на энинскую, омникую, малгинскую, птицелинскую и лахадинскую свиты.

**Энинская свита.** Терригенно-карбонатные отложения энинской свиты расщепляются на две подсвиты: нижнюю – существенно терригенную и верхнюю – карбонатную.

Нижняя подсвита (Pt<sub>3</sub>en<sub>1</sub>) энинской свиты представлена главным образом зелеными, серыми, белыми кварцевными песчаниками с прослоями алевролитов. Они развиты на двух разобщенных участках – левобережье р. Челасин и в бассейнах рек Джагдак-Аваланда и Былякчан.

На левобережье р. Челасин в пределах площади листа подсвиты энинских отложений не наблюдается. Непосредственно же западнее, в среднем течении рек Ниж. и Верх.Джагдан они с резким угловым несогласием залегают на глубоко метаморфизованных нижнепротерозийских образованиях. Терригенные отложения нижней подсвиты перекрываются на левобережье р. Челасин доломитами верхней под-

свиты энинской свиты. Наибольшую роль в составе нижней подсвиты здесь играют темно-серые и буроватые мелкозернистые кварцевые песчаники и алевролиты, изредка наблюдаются маломощные простолитовые зерна плагиоклаза, кальевого полевого шпата, циркона и гиалукоита. Цемент кварцевый регенерационный, либо базальтический кварц-серидитовый, иногда гематитовый. Мощность нижней подсвите на левобережье р. Челасин составляет 200 м.

В бассейне рек Джагдак-Аваланда и Былякчан к нижней подсвите условно отнесена толща кварцевых песчаников зеленого, серого и бордового, реже темно-серого и белого цвета. Песчаники обычно крупно- и неравномернозернистые с хорошей окатанностью зерен, часто катаклизированные и рассланцованные. Цемент первоначально, по-видимому, существенно глинистый, в результате динамометаморфизма преображен в кварцевый мицеллит с мусковитом, серицитом и хлоритом. Последний придает породам зеленоватый оттенок. Часто в цементе присутствует магнетит, иногда в значительном количестве. Высокая мощность всей этой толщи достигает 1500 м.

Песчаники с размывом залегают на отложениях гонамской свиты II, хотя по своему облику значительно отличаются от отложений нижней подсвиты энинской свиты бассейна р. Челасин, положение в разрезе позволяет относить их условно к нижней подсвите энинской свиты.

Верхняя подсвита (Pt<sub>3</sub>en<sub>2</sub>). Отложения верхней подсвиты энинской свиты развиты незначительно лишь на западе территории листа, в долине р. Челасин. Они залегают на песчаниках и алевролитах нижней подсвиты и представлены толщей серых, буровато-серых и светло-серых доломитов и кремнистых доломитов. Количество последних увеличивается вверх по разрезу, где наблюдаются прослои и линзы черных и серых кремней мощностью от первых десятков сантиметров.

Доломиты состоят из агрегата изометричных мелких (0,001–0,05 мм, изредка до 1 мм) зерен доломита, реже кальцита, часто мозаичного строения. Кремнистые включения состоят из микрозернистого аргилита хальцедона, иногда со сферулитовой структурой. В доломитах иногда встречаются остатки водорослей *Solenia* sp. и *Solenites* sp. Мощность верхней подсвиты энинской свиты составляет 300 м.

Оманская свита (Рт<sub>3</sub> он). На доломитах верхней половины Омской свиты согласно залегают алевролиты аргиллиты и песчаники омской свиты, разные главным образом в западной части щёледи листа, в бассейнах рек Челасин и Джагда.

Оманская свита сложена серыми, буровато-серыми, зелено-вато-серыми, иногда фиолетовыми алевролитами и аргиллитами, часто косослоистыми, иногда известковистыми. В нижних горизонтах находятся маломощные прослои зеленовато-серых кварцевых песчаников с карбонатно-глауконитовым цементом, в основании за-легает пачка белых и серых кварцевых песчаников с кварцевым це-ментом и с редкой галькой кварца. Мощность пачки колеблется от 1 до 20 м. В алевролитах преобладают зерна кварца размером от 0,01 до 0,08 мм. Изредка встречаются зерна шапокиля, ме-тита, кальциита, глауконита, чешуеки биотита. Аргиллиты состоят из глинистых частиц и мельчайших зерен кварца, магнетита и лей-коксена.

В верхах омансской свиты имеется маркирующий горизонт виш-невых и ржаво-бурых пористых кремнисто-лимонитовых пород. Мощ-ность горизонта не превышает первых метров.

Общая мощность омниенской сини составляет 700 и.  
М а л г и н с к а я с в и т а (Рт<sub>3</sub><sup>ml</sup>). Отли-

малгинской свиты развит преимущественно в западных и северных частях территории листа, в бассейнах правых притоков р. Челасин, р. Джалга, р. Джадак-Аманда, где они согласно перекрывают алевриты и аргиллиты омнинской свиты. На левом берегу р. Архай в доколе речной террасы в непрерывном коренном выхоле разрез малгинской свиты выглядит следующим образом (снизу вверх):

I. Светло-серые мелкозернистые известняки с тонкими (до 1 см) прослойками черных глинистых известняков

КОВЫ	• • • • •
2. Коричнево-красные афантовые тонкоспиральные глинистые известняки	• • • • •

### **3. Светло-зеленые, розово-зеленые и светло-серные землянки из вестники с редкими прослойками**

тено-серых разностей . . . . .  
4. Грубодислочные известняки с характерными  
тонкими желтоватыми примазками глинистого материа-  
ла. В верхних горизонтах редкие прослои белых мел-  
козернистых известняков . . . . .

## 5. Тонкозернистые темно-серые, почти черные

ИЗВЕСТИКИ С ТОНКАМИ ГЛИНЯТЫМИ ПРИМАЗКАМИ . . . 20-25 м  
Для Малгинской синты характерно уменьшение глинистого ма-  
териала вверх по разрезу. Осадочная мощность Малгинской синты со-  
ставляет 150 м.

Ц и п а н д и н с к а я с в и т а (Ртз<sup>24</sup>), представленная доломитами и известковистными доломитами, без видимого несогласия ложится на известники малгинской свиты. Разница она в бассейнах рек Гюнчан, Архай, Олондо, Джаги, Джагдак-Айланда. На правобережье р.Джагдак-Айланда по зловянским образованиям и редким коренным выходам наблюдается следующий разрез дипандинской свиты (снизу вверх):

1. Серые и светло-серые тонко- и мелкозернистые доломиты и известковистые доломиты массивные, иногда слоистые	80-100
2. Серые массивные мелкозернистые доломиты и обломочные брекчевые доломиты	70-80
3. Серые мелко- и тонкозернистые доломиты, часто кальцинованные с прожилками и жеодами кальцита	110-170

4. Мелкозернистые полосчатые серые и темно-серые доломиты, часто с линзовидными включениями серых и черных кремней до 3-4 см в поперечнике 50-60  
В бассейнах рек Гончан и Аркай в нижних горизонтах свиты отмечается маломощные прослои или линзы мелкозернистых белых и серых кварцевых песчаников и алевролитов с глинисто-сероцветным и кирзовым цементом.

Лахандалинская систа распространена в бассейнах прямых притоков р. Челсиин, бассейне р. Джалы и в ведомых рек Ляштар-Амгана и Бол. Комын. Она согласно на-

рекурсивные поломки пильдинской сметы и расщепляется в пределах площади листа на четыре подсмыты.

*Первая подсветка* (Ртз- $\lambda_1$ ) представлена алевролитами и аргиллитами темно-серыми, черными, зеленоватыми и суроватыми, тонкокристаллическими. Сланцы распространены в отмежеванных антиклинальных складках.

ломочные (20-30 см) линзовидные прослои лимонитизированных пологих землистых, красновато-бурых, реже желтоватых. Мощность подстилающих колеблется от 20-30 м в месторождении Бургунда-Ольтондо до 100-120 м на р.Джагда.

Вторая подсвита ( $Ft_3 \ell_2$ ). На аргиллитах и алевролитах первой подсвиты залегают серые и красноватые известники

второй подсвиты с многочисленными остатками водорослей *Valcasa*

и *la sp.*, Солордун *lithus* *Maslov*. Нередко в верхних и средних горизонтах имеются невидимые прослои темно-серых обломочных, сурых глинистых и доломитистых известняков. На правобережье р.Джагдак-Аландаха в нижних горизонтах второй подсвиты прослеживаются темно-серые и черные тонкозернистые известняки, пронизанные тонкой сетью кальцитовых прожилков.

Мощность второй подсвиты изменяется от 150-180 м в бассейне рек Олондо, Буруна и Джада до 230-250 м на правобереге

р.Джагдак-Аландаха.

Третья подсвита (*Pt<sub>3</sub>* *lh<sub>3</sub>*) лаханинской свиты представлена алевролитами и аргиллитами с малоомощными прослоями известняков и пестранников.

Алевролиты и аргиллиты зеленовато-серые, реже темно-серые и сурозватые. Алевролиты состоят из мелких (0,05-0,1 мм) зерен кварца, сцепленных сернисто-глинистым цементом. Аргиллиты обычно содержат многочисленные включения алевролистых кварцевых частиц. В основании часто наблюдаются прослои характерных аргиллитов с многочисленными мелкими кремнисто-хлоритовыми стяжениями. Алевролиты и аргиллиты обычно интенсивно окислены по трещинам. В средних и верхних горизонтах третьей подсвиты имеются прослои серых, водорослевых известняков, мощность которых не превышает 5-15 м. Изредка в южной части территории листа отмечаются прослои мелкозернистых кварцевых песчаников мощностью 5-7 м. В верхних горизонтах наблюдается тонкое переслаивание известняков и аргиллитов.

Мощность отложений третьей подсвиты увеличивается от 200-220 м на юго-западе до 300 м на северо-востоке, на правоберегье р.Джагдак-Аландаха.

Четвертая подсвита (*Pt<sub>3</sub>* *lh<sub>4</sub>*) лаханинской свиты представлена собой карбонатную толщу, сложенную различными по окраске и текстурным особенностям известняками с остатками строматолитов типа *Solenites* *sp.*, *Vadisia* *sp.*. Здесь встречаются серые, черные сплошные известняки, красновато-бурые и серые водорослевые известняки, темно-серые и серые солитовые и обломочные известняки. Все эти разности образуют невидимые по мощности и простирации прослои, а возможно, и линзы. Мощность отложений верхней подсвиты изменяется от 120-140 м на юго-западе до 200 м на северо-востоке.

Суммарная мощность отложений лаханинской свиты колеблется от 500-600 до 750-870 м.

#### Уточненная серия

Канлыкская свита (*Pt<sub>3</sub>* *hn*). На известняках четвертой подсвите лаханинской свиты без видимого несогласия залегают пестранники и алевролиты канлыкской свиты. Наиболее развиты они достигают в бассейне р.Бол.Комуя и в верховьях р.Архай.

В бассейне р.Ильячан по эпиморальным образованиям и редким коренным выходам разрез отложений канлыкской свиты выглядит следующим образом (снизу вверх):

1. Алевролиты серые, буровато-серые, розовые, перекристаллизованные, пестранничающиеся с серыми и темно-серыми аргиллитами • • • • • • • 70-100 м

2. Плитчатые серые, зеленовато-серые тонкослоистые алевролиты и тонкозернистые слоистые, сернистые кварцевые пестранники с хлоритом. Пестранники массивные, иногда с тонкой параллельной или косой слоистостью, иногда с точечным краем окисления, реже более сахаровидные, а также кварцитовидные. В пестранниках резко преобладает кварц, изредка встречаются шарконы, биотит, магнетит. Зерна хорошо окатаны. Иногда среди пестранников присутствуют малоомощные (до 10 м) прослои алевролитов. Мощность колеблется от 300 м в верховых р.Архай до 500 м в бассейне р.Бол.Комуя

Мощность канлыкской свиты достигает 600-700 м, причем максимальная мощность отмечается в бассейне р.Бол.Комуя.

Возраст отложений осадочного комплекса определяется как позднепротерозойский на том основании, что они выше всей восточной окраины Алданского щита с резким угловым несогласием лежатся на глубоко метаморфизованные кристаллические образования нижнего протерозоя, а также на породах Уянской серии (средний протерозой), и перекрываются фаунистически оквартированными породами нижнего кембрия зоны *Ajasiscutatus* *anab-* *tepis*. Контакт верхнепротерозойских отложений с нижнепротерозойскими метаморфическими образованиями наблюдается непосредственно западнее территории листа, на левобережье р.Челясин.

## ПАЛЕОЗОЙ

### КЕМБРИЙСКАЯ СИСТЕМА

#### НИЖНИЙ ОТДЕЛ

Нижнекембрийские отложения развиты на небольшой площади в верхнем течении рек Бол. Комы и Архай. Они представлены толщей карбонатных пород, трансгрессивно залегающих на песчаниках кандинской свиты верхнего протерозоя и перекрывающихся с размытым и угловым несогласием мезоокеаническими образованиями. Обнажены нижнекембрийские отложения широко, разрозненные коренные выходы встречаются спорадически, глянцевым образом в дас-сейне р. Архай.

Нижнекембрийские отложения расслаблены на две свиты:

ЮДОМСКАЯ СВИТА (*Sgt jd*) представлена доломитами и известковистыми доломитами — белыми, серыми, темно-

серыми, часто окремелыми.

К нижним горизонтам (60-70 м) тяготят обычно серые и темно-серые доломиты и известковистые доломиты мелко- и среднезернистые, часто мелкогористые. Выше они сменяются серыми и светло-серыми, мелко- и тонкозернистыми, обычно массивными и плотными доломитами. Мощность 230-250 м. Верхи разреза (70-80 м) сложены преимущественно светло-серыми и белыми доломитами, массивными, часто окремелыми и кавернозными. Доломиты имеют неравномернозернистую структуру (от крупно- до микрозернистых). Распределение участков с различной зернистостью либо полосчатое, либо пятнистое. В микрозернистых разно-стях обычно содержится глинистый материал. Изредка наблюдается мелкая вкрапленность окисленного магнетита. Мощность отложений юдомской свиты 400 м.

В доломитах юдомской свиты не обнаружено фауны, однако трансгрессивное заливание их на различных горизонтах верхне-протерозойских отложений, с одной стороны, и согласное перекрытие фаунистически схожими отложениями пестролиственной свиты, с другой, позволяют относить юдомскую свиту к одному именному горизонту алданского яруса нижнего кембрия.

Пестропильная свита (*Sgt p.*). В бассейне р. Архай на незначительных по площади участках на юдомских доломитах лежат коричнево-красные известняки пестролиственные свиты с прожилками белого кальцита и многочисленными остат-

ками трилобитов плохой сохранности. Выше известняки приобретают зеленовато-серую, зеленную и пятивицую зеленовато-розовую окраску. Иногда встречаются логоитистные и обломочные известняки.

В породах обычно содержится небольшое количество (до 2-3%) алевритовых кварцевых зерен, распределенных равномерно.

Мощность пестролиственной свиты не превышает 40-60 м.

В пестрых известняках на левобережье р. Архай (верхнее течение) Ю.К.Левиновским в 1937 г. и позднее А.Л.Станевым в 1960 г. обнаружены остатки *Pagettellus lenicus* (Toll) и *Triangulaaspis megitzkii* (Toll). Эти формы принадлежат кембрийскому горизонту (зона *Ajasicystinus analagensis*) алданского яруса нижнего кембра.

### МЕЛОВАЯ СИСТЕМА

Меловая система представлена вулканогенными образованиями нижнего и верхнего отделов.

#### НИЖНИЙ ОТДЕЛ

К нижнему отделу относятся вулканогенные образования нижнекембрийской и магейской свит. Они залегают с угловым несогласием на верхнепротерозойских и нижнекембрийских осадочных отложениях и проявлены меловыми гранитомирами. Нижнелевые вулканогенные образования (как и вообще вулканогенные образования района) характеризуются неплохой обнаруживаемостью. Они образуют на водоразделах и в верхних частях склонов сплошные эрозионные развалины, а в центральных частях хр. Джуликур часто слагают скользящие останцы и гребни.

Неймуканская свита (*Sgt nm*). Вулканогенные образования неймуканской свиты пользуются широким распространением. Наиболее значительные выходы их отмечаются в центральной и юго-западной частях территории листа, в бассейнах рек Биранджа, Архай и Бол. Комы. Неймуканская свита сложена однообразными андезитовыми порфиритами, переслаивающимися с туфами порфиритов и маломощными покровами плагиопорфиров.

Анdezитовые порфириты представляют собой темные, зелено-вато-серые, плагиатитовые, реже пильевые породы с многочисленными (30-40%) вкраплениниками плагиоклаза, амфибита, реже пирок-

сена. Плагиоклаз представлен андезином (# 40-50) и образует таблитчатые и призматические зерна размером от 0,3 до 3-6 мм.

Пироксен - аугит, очень редко ромбический пироксен - представлен зернами неправильной, реже ромбической формы, размером 0,2-0,2-4 мм. Амфибол - обыкновенная роговая обманка образует вытянутые, реже таблитчатые зерна. Очень редко встречаются выделники биотита. Основная масса андезитовых порфиритов состоит из микролитов плагиоклаза, малых зерен аугита и магнетита, промежутки между которыми заполнены цирконом-плагиоклазовой масой, нередко хлоритизированной, карбонатизированной и окисленной. Структура микролитовая, пилотактиковая. Часто наблюдаются миндалекаменные разности, миндалины выполнены хлоритом, кальцитом, реже халцедоном. Химическим анализом андезитовых порфиритов установлено (в %): SiO<sub>2</sub> - 59,62; TiO<sub>2</sub> - 0,74; Al<sub>2</sub>O<sub>3</sub> - 17,31; FeO - 3,14; MnO - 0,16; Fe<sub>2</sub>O<sub>3</sub> - 3,73; MgO - 2,57; CaO - 4,74; Na<sub>2</sub>O - 4,0; K<sub>2</sub>O - 1,55; H<sub>2</sub>O - 0,45; P<sub>2</sub>O<sub>5</sub> - 0,22; сумма - 98,23%. Числовые характеристики по А.Н.Заварич-кову (a - II,5; C - 6,0; b - II,6; S - 71,0; f' - 56,0; m' - 39,1; n - 80,0; t - 0,9; q - 28,0; a' - 4,9; q - 13) свидетельствуют, что порода отвечает роговообманковому андезиту (по Р.Дэни). Отмечается лишь незначительно повышенное содержание окислов железа.

Кристаллолитогенные и литокластические туфы андезитовых порфиритов, как правило, играют существенную роль в нижних горизонтах разреза, образуя прослои и линзы мощностью до 200-250 м. Лишь в бассейне р.Ильчан мощные (до 100 м) линзы туфов встречаются и в верхних горизонтах немуйканской свиты. Туфы имеют темно-серую, зеленовато-серую и грязно-зеленую окраску. Количество обломков достигает 70-75%, размер их не превышает 6-7 см. В обломках встречаются андезитовые порфириты, средний плагиоклаз, реже пироксен и амфиболы. Связующая масса состоит из мелких обломков того же состава и пепловых частичек.

В юго-западной части территории листа, в бассейне р.Биранджа в верхах разреза немуйканской свиты наблюдаются маломощные (8-12 м) покровы плагиопорфиров, переслаивающиеся с туфами того же состава. Наличие последних свидетельствует об эфлюзивной природе покровов плагиопорфиров. По внешнему виду, петро-графическому составу и структурным особенностям плагиопорфир

и их туфы совершенно аналогичны описанным ниже плагиопорфирам и туфам магейской свиты.

Мощность образования немуйканской свиты 700 м.

Нижнемеловой возраст образования немуйканской свиты устанавливается на основании определения комплекса спор и пыльца из туфов, обнаруженных в верховьях р.Аракай, в 3 км севернее высоты 1394,0. Здесь преобладают *Solenites burejensis* и *Solenites kolymensis* (Fr.) гликолитов *Ginkgo nitidolia* (Steinb.) и костные *Podocasites angustifolius* (Eichv.), подчиненное положение занимает цикадофиты *Nilsenia orientalis*.

По заключению В.В.Скотаренко (ВАГТ), этот комплекс характерен для конца верхней юры - начала нижнего мела.

Кроме того, в 20 км к западу от территории листа на водоразделе рек Немуйкан и Архай в туфах в основании немуйканской свиты К.Г.Чешниковой (Станев и др., 1962) обнаружены сплеточки *Neozamites verschujanensis* Vachn., характерные по определению В.А.Вахрамеева, для нижнего мела (неокома).

Магейская свита (Sr? mg?). Вулканические образования, отвечающие за целом единому циклу вулканической деятельности. Это подтверждается литологическим сходством близких по составу разностей пород обеих свит, а также одинаковыми условиями залегания. Граница между смесями проводится по пологовому покрову пород кислого состава, выше которой в разрезе толщи преобладают кислые разности пород. Граница эта выражена на значительном протяжении и, несомненно, отвечает определенному этапу изменения характера вулканической деятельности, выраженному в изменении состава лав и, возможно, в появлении новых центров извержений. Породы магейской свиты местами залегают со стратиграфическим несогласием на более древних верхнепротерозийских и кембрийских образованиях.

Приведенные данные служат основанием для понимания несогласной трансгрессивной природы границы магейской свиты.

Магейская свита имеет очень пестрый состав. Здесь отмечаются плагиопорфир, кварцевые плагиопорфир, фельзит-порфир, фельзит, дацитовые порфир, андезитовые порфириты, в порошковом количестве присутствуют туфы различного состава, изредка отмечаются кварцевые порфир и ортофир. Характерны резкие из-

х/ В результате химических анализов вулканогенных пород сумма окислов менее 100%, что, вероятно, свидетельствует о значительных потерях летучих компонентов.

менения состава магейской свиты, проходящие часто на расстоянии всего в несколько километров.

Так, в бассейне р.Джадак-Авландаха магейская свита начинается с маломощных (20-40 м) красно-бурых плагиопорфиров, которые выше сменяются светлыми флюидальными фельзитами и туфовавы-ми мощностью 200 м. Юнее, в верховых Бол.Комуя низы магейской свиты сложены преимущественно серыми и сиреневыми плагиопорфирами (250 м), выше которых залегает пачка андезитовых порфириев с прослоями светлых плагиопорфиров, фельзитов и фельзит-порфиров (мощность до 300 м).

В бассейне р.Биранды породы среднего состава играют резко подчиненную роль. Здесь преобладают серые, сиреневые и светло-серые фельзиты, переслаивающиеся с темно-серыми и буроватыми плагиопорфиритами с редкими прослоями андезитовых порфириотов.

Плагиопорфириты имеют серую, светло-серую, сиреневую окраску и обладают порфировой структурой, афировые разности встречаются редко. Вкрашенники, количество которых достигает 50%, представлены плагиоклазом, изредка биотитом и калиевым полевым шпатом. Плагиоклаз (олигоклаз - андезин) образует таблитчатые кристаллы размером до 3-5 мм; калиевый полевой шпат встречается в виде зерен неправильной формы размером до 1-3 мм; биотит обычно хлоритизирован и опацитизирован. Основная масса состоит из агрегата кислого плагиоклаза, калиевого полевого шпата и магнетитовой пыли. Структура трахитовая, микропойкилитовая, ортофировая.

Химический анализ плагиопорфиров дал следующие результаты (в %): SiO<sub>2</sub> - 63,97; TiO<sub>2</sub> - 0,4; Al<sub>2</sub>O<sub>3</sub> - 16,81; Fe<sub>2</sub>O<sub>3</sub> - 0,85; FeO - 2,22; MnO - 0,9; MgO - 0,47; CaO - 2,46; Na<sub>2</sub>O - 4,04; K<sub>2</sub>O - 3,92; H<sub>2</sub>O - 0,28; P<sub>2</sub>O<sub>5</sub> - 0,05; сумма - 96,37. Химический состав, а также числовые характеристики по А.Н.Заварикову (a - 15,1; o - 3,1; B - 6,0; S - 75,8; a' - 22,4; f' - 64,7; m' - 12,9; n - 64,5; t - 0,43; q - 12,9; q' - 18,3) свидетельствует, что порода весьма близка к известково-щелочному трахиту (по Р.Дэни) или плагиопорфиру, отличаясь несколько повышенным содержанием алюминия (вероятно, за счет темноцветного компонента) и свободной кремнекислоты.

Фельзиты и фельзит-порфириты по составу вкрашенников почти не отличаются от плагиопорфиров, лишь плагиоклаз здесь более кислый (олигоклаз средних номеров). Основная масса состоит из кварца, кислого плагиоклаза и калиевого полевого шпата. Структура микропойкилитовая, фельзитовая, гиалопилитовая, реже сфе-

ромитовая. Из вторичных изменений в породах отмечается пелитизация, зернитизация и окисление.

Среди кислых разностей пород (плагиопорфиров) в разрезе магейской свиты (главным образом в низах) встречается маломощные (5-15 м) покровы андезитовых порфириотов и их туфов. Наличие туфов, тесно ассоциирующих с андезитовыми порфиритами, свидетельствует о эфузивной природе последних. Эти породы совершенно аналогичны андезитовым порфиритам и их туфам немецкой ской свиты, описанным выше.

#### Мощность магейской свиты 600 м.

В образований магейской свиты на территории листа не отмечено никаких органических остатков. Возраст ее определяется как нижнемеловой на том основании, что они, как уже отмечалось, совместно с образованиями немецкой свиты формируют вулканическую толщу, принадлежащую к единому циклу вулканической деятельности. Кроме того, образования магейской свиты перекрываются палеонтологически характеризованными верхнемеловыми вулканическими образованиями тогонской свиты.

На прилегающей к северо-востока территории (10 км) на водоразделе рек Малтан и Тогонах в туфах магейской свиты А.Л.Ставцевым (Ставцев и др., 1960) был обнаружен комплекс спор и пыльцы, характерный, по заключению В.В.Скотаренко, для неокомских отложений Приморского края и Амурской области.

Кроме того, в пределах площади листа магейская свита прорывается гранитами Дальнекурского комплекса, которые восточнее, в Охотском районе, перекрываются флористически характеризованными образованиями сеноман-туронского возраста (Шишкова, Ярмолюк, 1952). Таким образом, возраст магейской свиты условно определяется как нижнемеловой.

#### В е р х н и й о т л е л

Т о г о н о х с к а я с в и т а (Ср2? тг). Вулканогенные образования тогонской свиты несогласно залегают на верхнепротерозойских отложениях, залегающих и туфах немецкой и магейской свит и на позднемеловых гранитинах. В свою очередь они перекрываются в межуречье Джадак-Авландаха - Бол.Комуя палеогеновыми андезитами мещанской свиты. Вулканогенные образования тогонской свиты слагают небольшие разрозненные участки в верховых рек Гоночан, Алдома, Танчи, Улакан, Бол.Комуя.

Тогонохская свита сложена преимущественно туфами смешанного (среднего) состава, а также андезитами порфиритами и их туфами. При этом туфы смешанного состава слагают нижние горизонты свиты, выше они переслаиваются с покровами андезитовых порфиритов и их туфами. Иногда в средней и нижней частях разреза отмечается незначительные по мощности (до 5-7 м) покровы падающих и липарито-дацитовых порфиритов и туфовыми прослоями и линзами туфоконгломератов.

Туфы смешанного (среднего) состава представляют собой темно-серые, зеленые, реже серовато-белые породы с многочисленными обломками и галькой различных пород. В обломках преобладают эфузивы кислого и среднего состава, часто встречаются гранитомики. Размер обломков колеблется от 0,1-0,5 до 15-20 см в диаметре.

Андезитовые порфириты — темно-серые, зеленые, зеленовато-

серые породы с порфировой структурой. Во вкрашениниках, количество которых достигает 40-50% породы, преобладает плагиоклаз (андезин средних номеров), реже наблюдается роговая обманка. Основная масса состоит из микролитов плагиоклаза с примесью хлорита и рудной шлака. Структура микролитовая, реже кристаллическая, интэрсертальная. Обычно породы интенсивно эпилитизированы и карбонатизированы. Мощность тогонохской свиты 500 м.

В туфовомолатах и туфогранитах из верхних и средних горизонтов тогонохской свиты в верховых рек Бол. Колы и Тоночан обнаружен комплекс пильцы, в котором господствующее положение занимает голосеменные. Преобладают виды *Extremella apertata* f. *typica* sp. et f. n., из группы *Saccata* и вид *Tsugelia relativia* sp. n. из группы *Marginalis*. По заключению В.В. Скотаренко, такой спектр характерен для верхних горизонтов верхнего мела.

Кроме того, тогонохская свита в пределах территории листа несогласно залегает на нижнемеловых вулканогенных образованиях немуйканской и мажейской свит, а также на гранитолах джульбарского комплекса, которые северо-восточнее, в Охотском районе, прорывают флюористически окрашенные верхние горизонты нижнего мела (Шишканова, Ярмолик, 1952). Пересявается тогонохская свита, породы которой имеют ярко выраженный палеоптический облик, палеогеновыми андезитами межачанской свиты.

На основании всего сказанного выше верхнемеловой возраст тогонохской свиты определяется с некоторой условностью.

#### КАИНОЗОЙ

##### ПАЛЕОТОНОВАЯ СИСТЕМА

Межачанская свита ( $Pg_m$ ). Вулканогенные породы межачанской свиты развиты в верховьях р.Бол.Колы, где они несогласно залегают на нижнекембрийских отложениях и на образований немуйканской, мажейской и тогонохской свит.

В составе межачанской свиты преобладают андезиты, реже встречаются андезито-базальты и туфы.

Андезиты и андезито-базальты представляют собой темно-серые и черные породы с порфировой структурой. Вкрашениники (до 30%) представлены плагиоклазом (андезин-лабрадор), реже альтом и гиперстеном.

Гиалопсидовая или витрофировая основная масса состоит из раскристаллизованного основного стекла.

Химический анализ андезитов показывает следующие содержания (в %):  $SiO_2$  — 59,21;  $TiO_2$  — 0,72;  $Al_2O_3$  — 17,92;  $FeO$  — 3,72;  $FeO$  — 3,25;  $MnO$  — 0,06;  $MgO$  — 2,32;  $CaO$  — 5,36;  $Na_2O$  — 3,06;  $K_2O$  — 2,06;  $H_2O$  — 0,92;  $R_2O$  — следы, сумма — 98,60. Числовые характеристики по А.Н.Заварикову ( $a$  — 10,1;  $c$  — 6,8;  $v$  — 12,4;  $S$  — 70,7;  $r'$  — 56,9;  $m'$  — 32,8;  $n$  — 69,1;  $t$  — 0,9;  $\varphi$  — 26,4;  $a'$  — 10,3;  $q$  — 14,4) свидетельствуют, что породы близки к гиперстеновому андезиту (по Р.Дем), отличаюсь некоторой пересеченностью албитием.

Туфы образуют небольшие (5-10 м) прослои и линзы. В обломках кроме андезитов встречаются плагиоклаз, пироксен и амфибол.

Мощность межачанской свиты 500 м.

На территории листа в породах межачанской свиты не встречен органических остатков. Возраст межачанской свиты как палеогеновый достаточно уверенно определяется залеганием ее на отложений тогонохской свиты верхнемелового возраста. По стратиграфическому положению и составу пород, описанная свита хорошо сопоставляется с андезито-базальтами и базальтами западного Приюта и Охотского побережья. Возраст последних устанавливается как палеогеновый на основании того, что они залегают на флористически окраинованных вулканогенных образо-

ваних сеноман-туронского возраста и перекрываются континентальными отложениями с эоцен-миоценовой фацией (Устинев, 1952).

#### ЧЕТВЕРТИНАЯ СИСТЕМА

Четвертичная система представлена ниже-, средне-, верхнечетвертичными и современными отложениями.

##### Нижнечетвертичные (?) отложения ( $Q_1$ )

**Альзияльные отложения.** К нижнечетвертичным отложениям относятся аллювиальные террасы высотой 110-120 м, которая прослеживается в долинах рек Гончая и Альдома. Они представлены глинистыми полимиктовыми песками с включениями гальки и крупных валунов. Мощность отложений не превышает 10 м.

Нижнечетвертичный возраст аллювиальных образований определяется на основании условного сопоставления описанной террасы со 110-120-метровой террасой р.Мая. В отложениях последней В.В.Скотаренко были обнаружены зубы *Elephas meridionalis* (Nestl.)<sup>4</sup>. В спорово-пыльцевом спектре преобладает пыльца широколистенных пород, реликтовых форм неогена: *Saxya*, *Ginkgoaceae*, *Tsuga* (Скотаренко и др., 1963).

##### Среднечетвертичные отложения ( $Q_{II}$ )

**Альзияльные отложения.** Среднечетвертичные отложения представлены аллювиальными песками, суро-вато-коричневыми суглинками и валунниками, размытыми на покольской террасе высотой 50-65 м, небольшой участок которой сохранился в долине р.Челасин. Мощность их достигает 10-15 м.

Среднечетвертичный возраст этих отложений определяется тем, что терраса высотой 50-65 м в долине р.Челасин врезана в более высокую нижнечетвертичную террасу высотой 110-120 м.

<sup>4</sup> Все находки даны в четвертичных отложениях определились В.И.Громовым и Э.А.Баумгартем.

Кроме того, описанная терраса сопоставляется с 50-65-метровой террасой р.Мая (в 150 км севернее южной листа), где *in situ* был обнаружен позвонок *Alces latirostris* (Daw.) (Скотаренко и др., 1963).

К среднечетвертичным отложениям, по всей вероятности, относятся также арктические валуны, встречающиеся главным образом в западной и юго-западной части площади листа. Они не образуют сплошного чехла и в связи с этим не показаны на геологической карте. Валуны отмечаются на склонах и водоразделах на различных высотах, не превышающих 800 м над днищами долин. В том числе и на поверхности террасы высотой 110-120 м. При этом среди валунов наблюдаются как местные породы (гранитоиды, песчаники, аргиллиты), так и иностранные, развитые выше территории листа. По всей вероятности, арктические валуны генетически связаны со среднечетвертичным оледенением, морена которого извествна непосредственно западнее территории листа, на левом береге р.Челасин (Станев и др., 1963).

##### Верхнечетвертичные отложения ( $Q_{III}$ )

**Ледниковые альзияльные отложения.** Верхнечетвертичные отложения представлены аллювиальными и ледникальными образованиями. Аллювиальные гальчиники и валунники II надпойменной террасы пересланыются с серым кварцевым песком. Мощность 15-25 м.

Верхнечетвертичный возраст (первая половина) аллювиальных отложений определяется по сопоставлению II надпойменной террасы с аналогичной террасой р.Мая, в отложениях которой обнаружен зубы *Elephas primigenius* (Blum.) позднего типа. Возможность сопоставления указанных террас доказывается сходством спорово-пыльцевых спектров разрезов обеих террас. И в том и в другом случае преобладают споры холмогорской арктической фации *Selaginella sibirica* и *Lycopodium appressum*.

Морена распространена в долине р.Бол.Камуй и его левых притоков. Представлена она красновато-бурыми суглинками с якобы гальки, валунов и глины различных гранулометрий и зернистостей. Мощность ледниковых отложений 30-40 м.

В пределах шишиади листа в бассейне р.Джагда в морену врезана I надпойменная терраса, возраст которой определяется как вторая половина верхнечетвертичного времени. Севернее, ниже

по долине р. Челасин, в 20 км от территории листа, водно-ледниковые отложения перекрывают аллювий II надпойменной террасы высотой 15–25 м (Ельянов и др., 1962), возраст которой, как отмечено выше, определяется как первая половина верхнечетвертичного времени. На основании этого возраст ледниковых образований уверенно определяется как первая половина верхнечетвертичного времени.

#### Верхнечетвертичные отложения ( $Q_{II}$ )

Ледниковые и аллювиальные отложения II. К отложениям этого возраста относятся аллювальные и ледниковые образования. Аллювиальные отложения представлены галечниками, валунниками, песками, суглинками, слагающими I надпойменную террасу в долинах всех крупных рек. Надность аллювия 7–12 м. Верхнечетвертичный возраст (вторая половина) этих отложений определен на основании сходства спорово-пылевых спектров описываемых образований и отложений I надпойменной террасы р. Ман. Как в тех, так и в других образований преобладают споры *Selaginella*, *Lycopodium appressum* пыльца: *Ericaceae* и разнотравья, указывающие на суровые климатические условия. В I надпойменной террасе р. Ман обнаружены костные остатки грызунов *Lemmus sibiricus*, *Lemmus timidus Dicroidionis torquatus*, *Ochotonota st. hyperboreus*.

Ледниковые отложения развиты в основном в осевой зоне хр. Джутикур. Они представлены моренными суглинками с вкраплениями гальки, щебня, валунов и глыб местных пород. Мощность их достигает 80 м. В описываемые ледниковые отложения повсеместно врезаны поймы рек и ручьев, формирующиеся и в наименее время. В бассейне р. Улан ледниковые отложения, в свою очередь, перекрывают II надпойменную террасу высотой 20 м, возраст которой определяется началом верхнечетвертичного времени. Поэтому возраст морены определен как вторая половина верхнечетвертичного времени.

#### Верхнечетвертичные – современные отложения – обследование (Q<sub>III</sub>–IV)

Дельвигалльно-проливные и дельвигальные отложения заселение р. Ман переслаиваются с фаунистически характеризованным алювиальными отложениями II надпойменной террасы верхнечетвертичного возраста (Скотаренко и др., 1963). Формирование же дельвигально-проливальных и дельвигальных отложений продолжается и настоящее время. На основании сказанного выше возраст их определяется как верхнечетвертичный – современный. Не исключена возможность, что местами среди дельвигально-проливальных и дельвигальных отложений присутствуют и более древние, чем верхнечетвертичные образования. Однако никаких данных, которые указывают на это, в районе пока нет.

#### Современные отложения ( $Q_{IV}$ )

Альдазильные отложения. К современным относятся аллювиальные отложения высокой и низкой поймы и русла рек. Представлены они галечниками, песками и валунниками. Мощность их достигает 4–8 м.

В спорово-пылевом спектре преобладает пыльца *Larix*, *Rosa*, *Abies*, *Ericaceae* и разнотравья. Присутствуют споры *Pinus* и сфагновых мхов. Такой комплекс пыльцы и спор в сочетании с тем, что пойма формируется и в настоящее время, указывает на современный возраст отложений поймы.

### ИНТРУЗИВНЫЕ ОБРАЗОВАНИЯ

Интузивные образования слагают более пологи и веерообразные листа. Интузивные породы весьма разнообразны как по петрографическому составу, так и по возрасту. Здесь выделяются интрузии кислого, среднего и основного состава; по возрасту они расчленяются на протерозойские, палеозойские, меловые и палеогеновые.

Дельвигалльно-проливные и дельвигальные отложения. К верхнечет-

вертичным и современным отложениям обособленным относятся дельвигально-проливные и дельвигальные образования, представленные лебнем, суглинком, супесями, галечниками и валунниками. Мощность этих образований достигает 5–10 м.

Дельвигально-проливные и дельвигальные отложения заселение р. Ман переслаиваются с фаунистически характеризованным алювиальными отложениями II надпойменной террасы верхнечетвертичного возраста (Скотаренко и др., 1963). Формирование же

дельвигально-проливальных и дельвигальных отложений продолжается и настоящее время. На основании сказанного выше возраст их определяется как верхнечетвертичный – современный. Не исключена возможность, что местами среди дельвигально-проливальных и дельвигальных отложений присутствуют и более древние, чем верхнечетвертичные образования. Однако никаких данных, которые указывают на это, в районе пока нет.

Альдазильные отложения ( $Q_{IV}$ )

Альдазильные отложения. К современным относятся аллювиальные отложения высокой и низкой поймы и русла рек. Представлены они галечниками, песками и валунниками. Мощность их достигает 4–8 м.

В спорово-пылевом спектре преобладает пыльца *Larix*, *Rosa*, *Aries*, *Ericaceae* и разнотравья. Присутствуют споры *Pinus* и сфагновых мхов. Такой комплекс пыльцы и спор в сочетании с тем, что пойма формируется и в настоящее время, указывает на современный возраст отложений поймы.

### ИНТРУЗИВНЫЕ ОБРАЗОВАНИЯ

Интузивные образования слагают более пологи и веерообразные листа. Интузивные породы весьма разнообразны как по петрографическому составу, так и по возрасту. Здесь выделяются интрузии кислого, среднего и основного состава; по возрасту они расчленяются на протерозойские, палеозойские, меловые и палеогеновые.

## Средне-протерозойские интрузии/ Ульяновский комплекс

Кварцевые порфирин, гранит-порфиры (πλ Pt<sub>3</sub> и β). Субвулканические интрузии кварцевых порфиров и гранит-порфиров слагают крупные ксенолитоподобные массивы в кровле малых интрузий в юго-восточной части территории листа, в бассейне рек Алдома и Танчи.

Размеры массивов достигают 30 км<sup>2</sup> и имеют более или менее изометричную форму, незначительно вытянутую в северо-восточном направлении.

В составе интрузий преимущественным распространением пользуются кварцевые порфирин; гранит-порфирин отмечены лишь в верхнем течении р.Алдома. И те и другие представляют собой плотные серые, темно-серые, лиловато-серые и темно-красные породы, обычно с многочисленными вкрашениками (до 40%), размером от 0,2 до 2 см, сургучно-красного, красновато-серого или желтоватого полевого шпата и мелкими вкрашениками лигнита кварца (в кварцевых порфирах). В последних во вкрашениках присутствуют как калиевый полевой шпат нереметчатый, с многочисленными пятнистыми перититами замещения, иногда замещенный лахматным альбиносом, так и плагиоклаз состава альбит-олигоклаза. В гранит-порфирах отмечается лишь калиевый полевой шпат, обычно с многочисленными волокнистыми перититами распада. Основная масса пород состоит из кварца и калиевого полевого шпата, а в гранит-порфирах, кроме того, кислого плагиоклаза. Иногда отмечается гематитовая пыль, обусловливавшая красноватую окраску пород. Структура основной массы микрополиклиновая, а в гранит-порфирах калиево-микролитоморфно-зернистая с длиннопризматическими или игольчатыми выделениями кварца, лампного псевдоморфозы по тридииту.

В бассейне р.Ирканы и частично на левобережье р.Алдома породы интенсивно динамометаморфизованы — миллионтизированы, расплакованы и катаклизированы. При этом породы подверглись динамометаморфизму дважды — наиболее интенсивно, по-видимому, в протерозое в связи с подвижками по зонам разломов, а затем незначительно в мезозое.

Х/ На геологической карте эти интрузии ошибочно названы раннесинайскими и снабжены индексом Pt<sub>3</sub> и β.

Граносиениты, сиениты, белоцветные граниты, сиениты-диориты и гранодиориты (γε Pt<sub>3</sub> и β). Средне-протерозойские кислые ищелочные породы слагают несколько крупных ксенолитоподобных массивов в кровле мезозойских гранитоидов в бассейне р.Танчи. Размеры ксенолитов достигают 100 км<sup>2</sup>.

Ксенолитоподобные массивы имеют более или менее изометричную форму, незначительно вытянутую в северо-восточном направлении. Кроме того, эти породы слагают субплагиовое тело в бассейне р.Балыкчан, прорывавшее толщу эпигейных песчаников. Тело вытянуто в северо-восточном направлении и прослеживается на расстоянии 10–15 км.

Породы в различной степени разгнейсованы, милонитизированы и нередко превращены в очковые милониты. Кроме того, повсеместно отмечается проявление кремнекристаллического метасоматоза (окварцевание, албитизация), а также мусковитизация, а в пределах субплагиового тела — нередко флюоритизация пород. Благодаря этому достоверное определение их первоначального состава часто затруднительно.

Если в бассейне р.Балыкчан породы были динамометаморфизованы лишь по всей видимости, в протерозойское время, то на юге, в бассейне р.Танчи, они, кроме того, в незначительной степени подверглись динамометаморфизму и в мезозое.

Это подтверждается тем, что интрузии среднего протерозоя интенсивно метаморфизованы, в то время как прорывавшие их меловые гранитоиды незначительно рассланцованные лишь вдоль зон разрывных нарушений.

Граносиениты, сиениты и щелочные граниты представляют собой связание взаимными переходами фации разновидности и слагают центральные части массивов. Эти существенно калиево-полевошпатовые обычно светлые средне- или крупнозернистые породы гнейсoidalной текстуры, нередко с многочисленными мелкими линзами вторичного кварца. Герадзю редко встречаются более темные меланократовые разности. В составе пород преобладает калиевый полевой шпат (до 70%) и кварц (до 50%). В подчиненных количествах присутствует альбит (10–20%). Из цветных минералов отмечается альбит и щелочной амфибол типа глаукофана (в меланократовых сиенитах). Аксессорные минералы представлены магнетитом, титаномагнетитом, альманитом, цирконом, магнезитом, монацитом, изредка сфером и апатитом.

Химический анализ граносиенитов дает следующие результаты (в %):  $\text{SiO}_2$  - 64,26;  $\text{Al}_2\text{O}_3$  - 15,55;  $\text{FeO}$  - 1,96;  $\text{FeO}$  - 5,03;  $\text{TiO}_2$  - 0,4;  $\text{MnO}$  - 0,2;  $\text{CaO}$  - 2,2;  $\text{MgO}$  - 0,2; п.п.п. - 0,73;  $\text{P}_2\text{O}_5$  - 0,15;  $\text{Na}_2\text{O}$  - 4,38;  $\text{K}_2\text{O}$  - 4,86;  $\text{H}_2\text{O}$  - 0,25;  $\text{CO}_2$  - 0,7; сумма 100,87. Чистые характеристики по А.Н.Заварикову ( $\text{a} = 16,8$ ;  $\text{c} = 1,84$ ;  $\text{v} = 7,8$ ;  $\text{s} = 73,5$ ;  $\text{m}' = 5,3$ ;  $\text{r}' = 85,0$ ;  $\text{c}' = 10,5$ ;  $\text{q} = 11,62$ ;  $\text{n} = 57,7$ ) свидетельствуют о насыщенности кремнеземом (имеется свободный кремнезем), преодолании щелочных полевых шпатов и низкотемпературных условий образования породы.

Сиенито-диориты и гранодиориты, очевидно, являются андоконтактовыми габброродильными разностями. Они отмечаются близ западных контактов субпластового тела и особенно широко развиты в ксенонодиоритовых массивах. Породы несколько более темно окрашены за счет присутствия значительного количества серого плагиоклаза (нейзинального, типа основного силикоклаза), который иногда преобладает над кальциевым полевым шпатом, цветные минералы представлены биотитом и роговой обманкой.

В пределах территории листа с интрузивными образованиями среднего протерозоя связана редкоземельная минерализация.

Возраст интрузивных образований Ульянского комплекса определяется как среднепротерозойский в пределах площади листа на том основании, что они прорывают породы алгатайской свиты, в свою очередь, прорваны позднепротерозойскими диабазами. За пределами территории листа в бассейне р.Ульян абсолютный возраст аналогичных интрузивных образований устанавливается по данным Ю.Н.Гамалея в 1700-1600 млн. лет.

### П О З Д Н Е П Р О Т Е Р О З О Й С К И Е ИНТРУЗИИ

Л и а с а з и н , м и н д а л е к а м е н и е д и а -  
б а з и н ( $\mu\beta_2 \text{ Pz}_3$ ). Позднепротерозойские основные породы образуют многочисленные, обычно довольно мелкие, пластовые и секущие тела среди алгатайских, гончарских и энинских отложений и реже среди среднепротерозойских интрузивных образований. Протяженность их не превышает 5-7 км, мощность 200-300 м. Это темно-зеленые или часто выщербленные (вследствие окисления) по-

\_\_\_\_\_  
*✓* На геологической карте эти интрузии ошибочно названы позднесинийскими.

роды, обычно афировые, нередко миндалекаменные, с многочисленными миндалинами, выполненным хлоритом, реже кальцитом и кварцем. В зависимости от степени раскрытия минерализации пород здесь выделяются диабазы, реже габбро-диабазы. Очень редко отмечаются диабазовые порфириты с немногочисленными вкрашенниками плагиоклаза. Породы состоят из интенсивно сернистизированного, пеллитизированного, хлоритизированного и карбонатизированного плагиоклаза типа кислого андезина-плагиоклаза, очевидно, лейнорит-тизирированного (40-70%), и широкосна, напело замещенного хлоритом, магнетитом и гидроокислами железа. Довольно много апатита (до 1-2%). Структура пород орнитовая, долеритовая, иногда микролитовая (в диабазах) или габбро-облитовая (в габбро-диабазах).

В зонах динамометаморфизма диабазы превращены в тонко-плитчатые, нередко сланцеватые породы темно-зеленого, зелено-вато-серого и иногда лиловатого цвета. При этом в них появляются новообразованный актинолит, хлорит, серпент, мусковит, кальцит, эпилом, пумпелит, кварц, магнетит, лейкоксенитизированный сфеен. Часто наблюдается сланцеватая текстура, и тогда совершенно отсутствуют следы первичной структуры.

Рудной минерализации, связанной с позднепротерозойскими диабазами, в рассматриваемом районе не установлено.

Описываемые интрузии в пределах территории листа прорывают лишь ранние интрузивные образования позднего протерозоя и осадочные отложения алгатайской, гончарской и энинской свит. Однако в соседних с севера районах аналогичные диабазы и габбро-диабазы прорывают верхние горизонты позднепротерозойского комплекса и, в свою очередь, подвергаются замещению карбонатами предкамбрийского возраста. Последние прорывают песчаники кандинской свиты верхнего протерозоя и перекрываются доломитами южноморской свиты нижнего кембрия (Мильто, 1960).

Возраст диабазов определяется как позднепротерозойский.

### П А Л Е О З О Й С К И Е ИНТРУЗИИ

Г а с б р о - д и а б а з и н , г а с б р о , д и а б а з и н ( $\mu\beta \text{ Pz}$ ). Палеозойские интрузии слагают секущие и реже пластовые тела протяженностью от 50-100 м до 1-5 км и мощностью от 5-10 до 50-100 м среди верхнепротерозойских осадочных отложений.

Все эти тела сложены темно-зелеными, зеленовато-серыми и черными массивными породами различной зернистости. Чаще всего встречаются мелкозернистые габбро-диабазы, реже габбро и изредка диабазы, при этом габбро обычно слагают центральные части крупных тел, переходя в габбро-диабазы и диабазы к периферии.

Габбро-диабазы состоят из беспорядочно ориентированных листов основного плагиоклаза-лабрадора (50–60%), промежуточные между которыми заполнены ксеноморфными зернами аугита (35–40%) и интенсивно лейкоксенитизированными кристаллами титаномагнетита (5–7%). В некоторых разностях присутствуют калиевый полевой шпат (до 5%) и кварц (до 5%). Структура пород офтоваия или габборовия.

Габбро отличается от габбро-диабазов более крупнозернистым строением и преобладанием габбровых структур.

Диабазы представляют собой афиевые или порфироидные породы с выкрашенниками основного плагиоклаза и мелкозернистой основной массой офтовой или интересергальной структуры. Породы несколько более меланократовые (цветное число 40–50).

Никаких проявлений рудной минерализации, связанной с палеозойскими диабазами и габбро-диабазами, на территории листа не отмечается.

От позднепротерозойских диабазов аналогичные палеозойские разности отличаются более основным плагиоклазом (лабрадор), свежестью, отсутствием миндалекаменных текстур. Меньшей степенью олезнения.

Возраст описанных образований определяется путем сопоставления их с аналогичными породами, развитыми севернее, в среднем течении р.Идомы. В этих районах даики палеозойских габбров и диабазов прорывают протерозойские, а также нижне- и среднепалеозойские отложения, включая девонские, но никогда не отмечаются ни среди каменноугольных, ни среди пермских пород (Лосев и др., 1959). На основании этого возраст их считается палеозойским, возможно, среднепалеозойским.

#### Р а н н е н и ж н е м е л о в и е И н т р у з и и

##### Удский комплекс

Трансдилориты, граниты, кварцы – венецианиты, дилориты ( $\delta$ -стад.). Интрузии

ные породы удского комплекса развиты в бассейне р.Адамса. На территории листа располагается лишь часть крупного массива, протягивающегося далеко к юго-западу за пределами площади района.

Интрузия удского комплекса сложена широкой гаммой пород щелочноземельного ряда от гранодиоритов и аламеллитов по кварцевым диоритам и иногда диоритам. При этом наиболее распространены гранодиориты. Кварцевые диориты и диориты отмечаются лишь в месте контакта со среднепротерозойскими квадиевыми породами. В резко подчиненном количестве развиты плагиограниты и тоналиты. Гранодиориты и граниты представляют собой среднезернистые или редко крупнозернистые породы светлого, розово-серого, светло-серого, серого или темно-серого цвета. Они состоят из белого и розового полевого шпата (плагиоклаз-плагиоклаз-андезин 40–45%) и кальевого полевого шпата (15–20%), светлоокрашенного почти бесцветного кварца (в кислых разностях 15–25%), пластинчатых кристалликов олигита (8–10%), а также итоголочек и призматич. роговой обманки (6–8%).

Наиболее распространеннымми акцессорными минералами являются магнетит, сфен, альбит, циркон, монацит, ксенотим.

Структура пород гипидиоморфозернистая, изредка призматическая кислозернистая. В зонах динамометаморфизма для пород удского комплекса характерны гранобластовые и порфиробластовые структуры и гнейсовидные, а иногда даже очковые текстуры. Катаклизм сопровождался возникновением новообразованного олигита и актинолита, располагающихся в виде сланцеватости и придающих породам гнейсоподобный облик, а также частично мусковитизацией биотита в гранитоидах, окварцеванием, альбитизацией кальевого полевого шпата и в то же время образованием мелких выделений свежего роговатого микроклина.

В кварцевых диоритах и диоритах калиевый полевой шпат отсутствует. Плагиоклаз более основной (андезин), содержание кварца не превышает 3–5% (в кварцевых диоритах).

Химический состав гранодиоритов дает следующие результаты:  $T_{\text{H}} (\text{в \%})$ :  $\text{SiO}_2 = 64,60$ ;  $\text{Al}_{2}\text{O}_3 = 17,98$ ;  $\text{Fe}_{2}\text{O}_3 = 2,40$ ;  $\text{TiO}_2 = 0,37$ ;  $\text{MnO} = 0,12$ ;  $\text{CaO} = 5,07$ ;  $\text{MgO} = 1,48$ ;  $\text{P}_{\text{p.p.}} = 0,08$ ;  $\text{P}_{\text{2O}} = 0,21$ ;  $\text{Na}_{2}\text{O} = 3,16$ ;  $\text{K}_2\text{O} = 1,91$ ; сумма 98,74. Числовые характеристики по А.Н.Заварзикову ( $a = 9,9$ ;  $c = 6,3$ ;  $b = 8,4$ ;  $S = 75,4$ ;  $a' = 26,7$ ;  $m' = 30,8$ ;  $f' = 42,5$ ;  $q = 24,7$ ;  $n = 71,7$ ) свидетельствуют о пересыщенности породы

глиозомом и кремнистостойким и незначительном содержании циро-  
чей, при этом настриг резко преобладает над калием.

Жильная серия интрузии очень богата и разнообразна. Здесь  
широко развиты как жилы первого этапа — гранит-порфирь, гранит-  
албиты, албиты, так и жилы второго этапа — гранодиорит-порфирь,  
диорит-порфириты и лампрофиды. Изредка отмечаются жилы муско-  
витовых пегматитов.

С интрузиями ульского комплекса в пределах территории ли-  
ста не встречаено никаких проявлений рудной минерализации. Ин-  
нее, в бассейне притоков р. Алтана, с ними связаны прояв-  
ления молибдена и полиметаллов.

В пределах территории листа ульская интрузия прорывает  
лишь среднепротерозойские интрузионные образования, чем и опре-  
деляется ее нижняя возрастная граница.

На прилегающей с юга территории гранитоиды ульского комп-  
лекса прорывают флюористические охарактеризованные вулканогенные  
образования джетонской свиты верхнепротерозойского — нижнемелового воз-  
раста и присутствуют в галечке конгломератов также флюористиче-  
ски охарактеризованной нижнемеловой (неокомской) мериконской  
свиты, чем и определяется ранненижнемеловой возраст ульского  
комплекса.

#### Нижнемеловые интрузии

##### Алданский комплекс

**Диорит-порфириты, порфириты** ( $\delta_{\mu}$ -С-1). Интрузионные образования алданского комплекса раз-  
виты в северо-западной части территории листа в бассейнах  
рек Биликаан, Бурунда, Олондо, где они слагают пластовые и  
суб пластовые тела в толще верхнепротерозойских осадочных от-  
ложений. Мощность тел колеблется от первых метров до 200-250 м,  
протяженность отдельных силлов достигает 8 км.

Среди алданского интрузивного комплекса выделяются две  
группы — роговообманковые диорит-порфириты и порфириты и лей-  
кократовые кварцевые диорит-порфириты и порфириты.

При этом лейкократовые разности распространены значитель-  
но больше роговообманковых и слагают обычно более крупные те-  
мы.

Роговообманковые диорит-порфириты и порфириты окружены в  
серые, зеленовато-серые и темно-серые тона. Во вкрашеннниках  
(10-30%) присутствует плагиоклаз (средний андезин и олигоклаз)  
и бурая роговая обманка. Основная масса состоит из беспорядоч-  
но ориентированных мелких лейст или микролитов плагиоклаза и  
иногда мелких яголочек роговой обманки, промежутки между кото-  
рыми заполнены хлоритом с примесью рудного минерала. Структура  
основной массы микролитовая, призматическая-зернистая, иногда  
интерститиальная.

Лейкократовые кварцевые диорит-порфириты и порфириты пред-  
ставляют собой розово-серые, зеленовато-серые и таечно-се-  
рые породы с многочисленными вкрашеннниками (20-50%) светлого  
плагиоклаза (среднего олигоклаза). Иногда наблюдаются выделе-  
ния хлоритизированного биотита. Мелкозернистая основная масса  
состоит из плагиоклаза, иногда подчиненного количестве калие-  
вого полевого шпата, кварца (до 20%), роговой обманки и биоти-  
та. Структура микролитовая, реже призматическая-зернистая,  
глидиоморфозернистая и трахитовая.

Все породы часто довольно интенсивно изменены — карбона-  
тизированы, эпидотизированы, хлоритизированы, серцинизираны  
и пелитизированы.

На щебнике листа рудной минерализации, связанной с интру-  
зиями алданского комплекса, не отмечено. Однако западнее, в  
пределах Алданского щита, с ними связаны рудопроявления золота  
и полиметаллов.

Возраст интрузий алданского комплекса на территории листа  
определяется на основании того, что они прорывают верхнепроте-  
розойские отложения и, в свою очередь, прорываются позднениж-  
немеловыми гранитоидами. По петрографическим особенностям и  
условиям залегания эти породы весьма схожи с интрузионными об-  
разованиями раннемелового (алданского) комплекса, развитыми  
западнее, в пределах Алданского щита (Шпак и др., 1962). На  
этот основании возраст описанных интрузий определяется как  
нижнемеловой.

#### Поздненемеловые интрузии

##### Дзункурский комплекс

К образованием дзункурского комплекса принадлежат интру-  
зии, сложенные широкой гаммой пород щелочноzemельного ряда от

гранитов и альмандинов до диоритов и габбро. Выделяются две фазы — диориты, габбро-диориты, габбро (первая фаза), образующие небольшие массы, и гранодиориты, альмандины, граниты, кварцевые диорит-монцониты, кварцевые диориты и диориты (вторая фаза), слагающие громадные датомитоподобные массы. На заключительном этапе образовались жильные тела гранит-диоритов и гранит-альмандинов.

**Диориты, габбро-диориты, габбро** (см. рис.) — интрузивные породы первой фазы. В описываемом районе имеют ограниченное распространение. В верховых р. Горохан и в бассейне р. Алдома они слагают несколько ксенократов в кровле интрузий второй фазы.

Интрузии сложены сферами и зеленовато-серыми диоритами, габбро-диоритами и габбро, иногда приближающимися к горноледникам. Породы обычно среднезернистые, реже крупнозернистые, иногда гигантозернистые. Изредка отмечаются разности с гнейсоминной текстурой. Составляет они в основном из роговой обманки и плагиоклаза, количество которых варьирует в широких пределах. В наиболее меланократовых габбро содержание роговой обманки достигает 60 и даже 80%, а в диоритах уменьшается до 10%. Роговая обманка обычно зеленовато-бурая или бурая, реже ярко-зеленая, иногда с реликтами моноклинного пироксена. Часто замещается актинолитом или хлоритом. Плагиоклаз представлен андезитом № 35-40 (в диоритах) и лабрадором (в габбро). Часто по плагиоклазам развивается серидит, хлорит и соссирит.

В диоритах отмечается бурый блокит в количестве до 10%, развивающийся, вероятно, по роговой обманке, а в кварцевых и кварцосодержащих диоритах — кроме того, кварц. Структура призматическая изернистая, габбровая, гипидиоморфозернистая, нередко с участками пойкилообитовой.

Химический анализ габбро-диоритов дает следующие результаты (в %):  $\text{SiO}_2 = 47,70$ ;  $\text{Al}_2\text{O}_3 = 13,18$ ;  $\text{Fe}_{2}\text{O}_3 = 6,55$ ;  $\text{FeO} = 7,81$ ;  $\text{TiO}_2 = 1,50$ ;  $\text{MnO} = 0,19$ ;  $\text{CaO} = 10,65$ ;  $\text{MgO} = 7,73$ ;  $\text{M.p.p.} = 0,56$ ;  $\text{P}_2\text{O}_5 = 0,26$ ;  $\text{Na}_2\text{O} = 2,12$ ;  $\text{K}_2\text{O} = 1,26$ ;  $\text{H}_2\text{O} = 0,16$ ;  $\text{CO}_2 = 0,27$ ; сумма — 99,94. Числовые характеристики по А.Н. Заварышевому ( $\alpha = 7,3$ ;  $\sigma = 3,2$ ;  $\beta = 35,5$ ;  $\delta = 54,4$ ;  $\gamma = 34,2$ ;  $\tau' = 36,2$ ;  $c' = 29,3$ ;  $q = 9,4$ ;  $n = 71,5$ ) свидетельствуют, что в темноцветном составе пород основную роль играют магнезиально-железистые компоненты. Порода умеренно богата шелочами (натрий преобладает над калием) и несколько недосыщена кремнеземом.

Тесная пространственная приуроченность описанных пород к массивам гранитоидов второй фазы джульгерского комплекса и некоторое петрографическое сходство с их габбронитами разностями позволяет считать и те, и другие производными одной матрицы относить к единому интрузионному комплексу. Однако тот факт, что диориты и габбро часто образуют ксенократы в кровле интрузии второй фазы, иногда окварцованны под воздействием этой интрузии и прорваны полевомагнит-кварцевыми прожилками, а также более интенсивно изменены и обладают иными структурными и даже текстуральными особенностями, свидетельствует об их неодновременном, более раннем образовании в первую, самостоятельную фазу становления интрузии.

**Гранодиориты, альмандиниты, граниты, кварцевые диориты, диориты (рис. 1)** — интрузии пород второй фазы. Наиболее широко на описываемой территории распространены породы второй, основной фазы джульгерского комплекса. Они слагают около 30% площади листа и образуют здесь несколько крупных массивов сложной конфигурации. Наиболее крупное тело расположено в юго-восточной части района. Второй крупный массив отмечается в его северо-западной части. Кроме того, отмечаются мелкие массивы в бассейне р. Баранника, которые, вероятно, представляют собой апогены крупного тела, не вскрытыего арозией.

Постепенное изменение значений приращения магнитного вектора (см. рис. 2), наблюдающееся в большинстве случаев, свидетельствует о пологих контактах массивов. На некоторых участках отмечается резкое изменение значений  $\Delta T$ , говорящее о крутых контактах массивов с вмещающими породами (нижнее течение р. Бог. Комуя, р. Гончан).

Интрузии сложены широкой гаммой пород целочноземельного ряда — гранодиоритами, альмандинитами, гранитами, кварцевыми диорит-монцонитами и диоритами и несколько реже — кварцосодержащими и бескараханными диоритами и диорит-монцонитами. При этом диориты и диорит-монцониты, кварцевые и бескараханные, слагают обычно апикальные и краевые части массивов, являясь интенсивно гибридизированными эндоконтактовыми разностями. Особенно широко упомянутые гибридные породы развиты в апикальных частях интрузии в бассейне р. Олгондо. Какой-либо закономерности в распределении гранодиоритов, альмандинитов и гранитов в массивах не

наблюдается. Все эти разности связаны постепенными переходами и часто сменяют друг друга.

Наиболее широко распространенные в составе интрузии второй фазы гранодиориты, адамелиты и граниты представляют собой среднеэзернистые, иногда мелкозернистые, нередко неравномерно-зернистые, приближающиеся к порфировидным породы розового или розовато-серого цвета. В них хорошо различимы зерна белого или светло-серого плагиоклаза (олигоклаз-андезин; 25-45%) и розового калиевого полевого шпата (5-30%), черные листочки биотита (1-5%) и уединенно-призматические кристаллики роговой обманки (3-7%). Несколько уже разлитым кварц (15-20%) - бесцветный или светло-дымчатый, образующий обычно более мелкие видоизменения.

Эндоконтактовые разности - кварцевые и бескварцевые диориты и диорит-монцониты представляют собой более темноокрашенные породы, что является следствием не только увеличения содержания цветных, но и более темной, густо-серой окраски плагиоклаза. При этом породы типа диорит-монцонитов, содержащие достаточно большое количество розового или сиреневого калиевого полевого шпата, окрашены в темные розово-серые тона, а диориты и кварцевые диориты - в серый или зеленовато-серый цвет.

Для пород второй фазы характерно присутствие во всех разностях, даже в диоритах, калиевого полевого шпата и роговой обманки, а также некоторый дефицит кварца в наиболее широко распространенных разностях - адамелитах и гранодиоритах.

Кроме близости по количественному минеральному составу, все перечисленные породы близки по структурным и текстурным особенностям.

Структура пород гипидоморфозернистая, нередко с участками монцонитовой. В более кислых разностях - гранитовая с участками гранулитовой и гранофировой.

Аксессорные минералы представлены магнетитом, титаномагнетитом, ильменитом, апатитом, цирконом, монацитом, орбитом, пиритом.

Петрографическое сходство пород свидетельствует об их тесном генетическом родстве. Развообразие же пород обусловлено в основном широким развитием явлений гидротермации.

Химический анализ гранодиоритов показал следующие результаты:  $SiO_2$  - 70,87;  $Al_2O_3$  - 15,47;  $Fe_2O_3$  - 1,46;  $TiO_2$  - 0,37;  $MnO$  - 0,09;  $CaO$  - 3,35;  $MgO$  - 1,02;  $R_2O$  - 0,16;  $Na_2O$  - 3,78;  $K_2O$  - 1,67;  $H_2O$  - 0,05; сумма - 98,29. Числовые характеристики

стрики по А.Н.Заварецкому (а - 10,6; с - 4,0; в - 5,7; а' - 30,6; в' - 79,7; м' - 29,4; г' - 40,0; q - 34,2; п - 77,6) свидетельствуют о бедности породы щелочами и пересыщенности глиноземом.

Воздействие интрузий на вмещающие породы не слишком велико. Ширина контактных ореолов достигает, правда, местами 2-3 км, однако это связано, по-видимому, с пологим погружением края интрузии. Мощность же зон kontaktово-измененных пород, как правило, не превышает 100-150 м. Здесь породы представлены различными роговиками или мраморами, реже скарнами. Часто наблюдаются зоны пиритизации.

Гранит - порфирин, гранит-аплиты ( $1 Cr_1 d_1$ ;  $2 Cr_1 d_1$ ) - жильная фация. Породы жильной фации образуют довольно многочисленные лайки и мелкие жилы среди гранитоидов второй фазы. Особенно большое количество таких тел отмечается в верховых Бильбачана, Джалы, Таны и Архая.

Указанные тела сложены гранит-порфиритами, гранит-аплитами, аplitами, реже гранодиорит-порфиритами. Это розовые или розово-серые, обычно лейкократовые породы со светлым кварцем. Породы мелкозернистые, нередко неравномернозернистые или порфировые. Иногда отмечаются аллюгитовые разности субделонгитного или цементного состава.

По составу и типоморфным особенностям слагающих их минералов и комплексу аксессориев, рассматриваемые породы очень близки к породам второй фазы джульджурского комплекса. В то же время они проявляют породы второй фазы, почти никак не будучи связанными с ними постепенными переходами, и имеют иные структуры - аplitовую, гранулитовую, микрогранитовую, иногда гранодиоритовую для микролититовой.

К жильной фации джульджурского комплекса, вероятно, относятся и малоизученные кварцевые жилы, отмеченные в бассейне рек Гончан, Баранка.

С интрузиями образованиями джульджурского комплекса генетически связаны проявления медной, полиметаллической и реже - молибденовой минерализации.

В пределах территории листа породы джульджурского комплекса генерируют и контакто-метаморфизуют не только отложения верхнепротерозойского и нижнемиоценового возраста, но и вулканические образования немецкансской и магейской свит нижнемиоценового возраста. В свою очередь они перекрываются породами того-

нохской свиты верхнего мела, содержащими обильную гальку гранитоморф второй фазы и реле (в верховых Арака) - жильных гранит-порфиров. Таким образом, возраст интрузий джульджурского комплекса определяется на территории листа в сравнительно узких пределах как несомненно нижнемеловой.

Для аналогичных интрузий, разытых северо-восточнее в Охотском районе (интрузии охотского типа) установлено, что они прорывают все нижнемеловые вулканические образования вплоть до алтекских и, возможно, нижнеалбских, а их галька присутствует в основании толщи кислых эфузивов и туфов с сеноман-туронской фацией (Шишканова, Ярмолюк; 1952).

Таким образом, возраст интрузий охотского типа и соответственно джульджурского комплекса определяется достаточно уверенно как поздненижнемеловой.

#### Верхнемеловые интрузии

Алтекскитовые, субшелочных и щелочногранитные (т. СГ2) слагают два крупных массива в бассейне р.Курая и на водоразделе рек Алдана и Биранджа. Незначительные изменения значений  $\Delta$  Та, особенно четко наследующиеся в бассейне р.Биранджа (см.рис.2), свидетельствуют о пологих контактах массивов. Следствием этого является взаимоотношения линий контакта с рельефом. Помимо крупных массивов отмечается несколько небольших штоков в бассейне р.Бол.Комуй.

Интрузии прорывают протерозойские отложения, меловые вулканические породы и интрузионные образования алданского и джульджурского комплексов.

Массивы сложены в основном лейкократовыми, блоктовыми, аляскитизовыми, субделочными и цепочными гранитами. Это очень однообразные средне- и крупнозернистые породы, легко разрушаемые в дресве и нередко образующие на водоразделах останцы с матрапевтической отдельностью. Они окраинены в розово-серый и розовый цвет и состоят из розового каменного полевого шпата (45-50%), округлых зерен темно-серого или серого кварца (30-40%), обычно незначительного количества белых или желтоватых кристаллов плагиоклаза - кислого олигоклаз-андезина (от 15-20% в субделочных разностях до 5-7% в щелочных) и редких идиоморфных листочек охонита (1-3%). Кроме того, в разрезах подчиненном количестве встречается иногда роговая обманка,

макроскопически плохо различимая. Аксессорные минералы - магнетит, сфен, апатит, циркон, малакон, пиритол, ортит.

Породы обычно неравномернозернистые, иногда порфирированные с вкрашениниками калиевого полевого шпата и кварца. Структура гранитовая.

Химический анализ гранитов установил следующий их состав (в %): SiO<sub>2</sub> - 71,48; Al<sub>2</sub>O<sub>3</sub> - 13,09; Fe<sub>2</sub>O<sub>3</sub> - 1,34; FeO - 2,01; TiO<sub>2</sub> - 0,36; MnO - 0,10; CaO - 0,95; MgO - 0,54; P<sub>2</sub>O<sub>5</sub> - 0,84; R<sub>2</sub>O<sub>5</sub> - 0,10; Na<sub>2</sub>O - 3,51; K<sub>2</sub>O - 4,98; H<sub>2</sub>O - 0,22; сумма - 99,52. Числовые характеристики по А.Н.Заваричному (a - 14,61; c - 1,14; b - 4,23; s - 80,2; a' - 6,4; m' - 20,6; f' - 73,2; q - 29,86; n - 51,4) свидетельствуют о пересеченности породы кремнистой, большом содержании цементной (при равном количестве патрия и калия) и преобладании хелата и алюминия над магнием.

Среди описанных гранитов отмечаются дайки, жилы и штоки (до 200-250 м в поперечнике) породоразмывных роговообманково-блотитовых и симититовых гранодиоритов и гранодиорит-порфиров. Это медко- и среднезернистые породы светло-серого или розово-серого цвета. От близких к ним по составу гранодиоритов и гранодиорит-порфиров джульджурского комплекса породы отличаются обилием кварца, широким развитием гранодиоритовой, микролегматитовой и микрогранулитовой структур, присутствием в некоторых разностях идиоморфных кристаллов интенсивно окрашенной зеленовато-бурой роговой обманки, обилием крупных идиоморфных кристаллов сферена.

Контактовое воздействие интрузий обычно незначительно и выражается в узких зонах орогенокования. Лишь в эзоконтактах северного массива в доломитах длияндинской свиты отмечается шимляскитизация, субделочными и цепочными гранитами. Воздействие однообразные средне- и крупнозернистые породы, легко разрушаемые в дресве и нередко образующие на водоразделах останцы с матрапевтической отдельностью. Они окраинены в розово-серый и розовый цвет и состоят из розового каменного полевого шпата (45-50%), округлых зерен темно-серого или серого кварца (30-40%), обычно незначительного количества белых или желтоватых кристаллов плагиоклаза - кислого олигоклаз-андезина (от 15-20% в субделочных разностях до 5-7% в щелочных) и редких идиоморфных листочек охонита (1-3%).

Кроме того, в разрезах подчиненном количестве встречается иногда роговая обманка, а также граниты с включением магнетитом и магнитомагнитным гранитом, прорывающим образованиями толено-окской свиты.

**М и к р о г р а н и ты, м и к р о п е г м ати ты - в и с е г р а н и ты, г р а н и т - п о р ф и р и ( , п . Сг . 2 ).**  
Эти интрузивные образования слагают довольно многочисленные небольшие штоки.

Породы симки по составу и особенностям слагающих их минералов к описанным выше верхнемеловым гранитам, но являются еще более лейкократовыми и щелочными. Они состоят из розового или светло-серого калиевого полевого шпата (45-60%) и темно-серого димитного кварца (35-40%). В подчиненных количествах (от 2-3 до 10%) присутствует плагиоклаз (от альбит-олигоклаза до основного олигоклаза). Нередко отмечается, кроме того, мелкие листочки олиита (1-2%).

Структуры пород - микрогранитовая, гранулитовая или альтовая, в гранит-порфирах - порфировидная.

Все разности светлоокрашенные - розовато-серого, светло-серого или светло-розового цвета, плотные и очень прочные, нередко содержат мелкие миароловые шустости, выстиланные кристалликами димитного кварца. Очень характерен комплекс акцессорных минералов, представленных в основном магнетитом, пильменитом, цирконом, магнезитом, цирконитом и в подчиненных количествах - монацитом, сфеном, апатитом, ураноторитом, турамалином.

Химический состав микрогранита следующий (%): SiO<sub>2</sub> - 74,42; Al<sub>2</sub>O<sub>3</sub> - 13,72; Fe<sub>2</sub>O<sub>3</sub> - 0,68; FeO - 0,59; TiO<sub>2</sub> - 0,24; MnO - 0,02; CaO - 1,50; MgO - 0,28; P<sub>2</sub>O<sub>5</sub> - 0,09; Na<sub>2</sub>O - 4,86; K<sub>2</sub>O - 3,55; H<sub>2</sub>O - 0,05; сумма - 100,0. Числовые характеристики по А.Н.Заварзикову (а - 15; с - 1,3; в - 1,9; с' - 81,8; т<sup>1</sup> - 23,7; т<sup>2</sup> - 54,3; с<sup>1</sup> - 22,0; q - 32,3; п - 68,7) свидетельствуют о преобладании породы кремнистого и высоком содержании шлаковой.

Контактовое воздействие интрузий на вмещающие породы очень неизначительно и проявляется обычно в узких зонах ороговикований. Соответственно почти не отмечаются гибридные разности в андоконтактах массивов. Лишь в карбонатных вмещающих породах часто отмечаются зоны скарнов, нередко рудных, мощность в первые десятки метров.

С верхнемеловыми гранитами генетически связана медная, боровая, полиметаллическая, редкоземельная, урано-ториевая и молибденовая минерализация. При этом в скарнах наблюдаются значительные скопления меди и бора.

В пределах площади листа описываемые интрузии в бассейне р.Гончан прорывают вулканогенные образования. Нижняя возрастная граница габбро и диоритов устанавливается по прорыванию ими джульджурских гра-

ты верхнемелового возраста. Кроме того, как в пределах листа, так и в регионе они никогда не отмечаются среди палеогеновых андезитов и андезито-базальтов. На этом основании возраст интрузий определяется как верхнемеловой, видимо, позднерхненеловой, дипалеогеновый.

#### П а л е о г е н о в ы е и н т р у з и и

Среди палеогеновых интрузий выделяются долериты, габбро, диориты и фельзит-порфирь.

**Д о л е р и ты (μβ Pg), г а б б р о (ν Pg), д и о -**  
небольшие пластовые тела и штоки. Пластовые тела встречаются на юго-западе, в бассейне р.Бирянки, в тоже низменном вулканогенном породе. Они имеют небольшие мощности (10-15 м) и незначительную протяженность (1-2 км). Сложенны они черными мелкозернистыми долеритами обычно с порфировой структурой. Вкрапленники представлены плагиоклазом (лабрадор), пироксеном (альбит), очень редко оливином. Основная масса хорошо раскрытализована, структура долеритовая, изредка интерсергальная и пилотакситовая.

Наиболее широко распространены габбро и габбро-монцониты, олагадиевые небольшие (до 3 км<sup>2</sup>) штоки в верховых рек Бурунда и Олгодно. Реже встречаются диориты и диорит-монцониты, образующие мелкие штоки в бассейне р.Архат. Все перечисленные разности близки между собой по внешнему облику и петрографическим особенностям. Это плотные темно-серые и зеленовато-серые мелко- и среднезернистые породы, состоящие из плагиоклаза (от основного андезина до среднего лабрадора) - 50-80%, а также нередчайшего калиевого полевого шпата и кварца, количество которых изменяется от единичных зерен в габбро до 30% в кварцевых диорит-монцонитах. Цветные минералы представлены энстатитом, агбитом, бурой роговой обманкой и биотитом. Структура габброритовая, долеритовая, реже монцонитовая. Проявленный рудной минерализации, связанной с палеогеновыми интрузиями, в пределах территории района не наблюдается.

Возраст долеритов, слагающих пластовые тела, в пределах площади листа определяется тем, что они прорывают нижнемеловые вулканогенные образования. Нижняя возрастная граница габбро и диоритов устанавливается по прорыванию ими джульджурских гра-

нитоидов. Непосредственно западнее плоскости листа, в верхних палеозойских структурный план характеризуется субмеридиональной и север-северо-восточной ориентировкой краевых складок шлифовых изогибов мечеванской свиты (Станев и др., 1962). В северо-восточнее, в бассейне р. Чабыт, штоки габбро и габбро-диабазов проявляют силы палеогеновых андезитов (Станев и др., 1960). По всей вероятности, описанные породы генетически связаны с покровами палеогеновых андезитов и андезито-базальтов мечеванской свиты.

На основании всего сказанного выше возраст долеритов, габбро и диоритов определяется как палеогеновый.

Фельзит-порфир слагают немногочисленные и обычно маломощные секущие жилы среди протерозойских осадочных пород и мезозойских вулканогенных образований. Лишь в междуречье Бурунда - Олондо отмечено более крупное секущее тело палеогеновых фельзит-порфиров размером 3х0,2 км.

Это светло-серые, розовато-желтые, иногда белесые породы с микрозернистой основной массой и редкими мелкими вкраплениками, которые представлены кислым серпентинизированным плагиоклазом, реже кварцем и хлоритизированным, либо окисленным фельзитом. Основная масса кварц-полевомагматовая, характеризуется фельзитовой или микроподиомагматовой структурой.

В пределах территории листа с палеогеновыми фельзит-порфирами связана полиметаморфическая минерализация.

На территории листа возраст описанных фельзит-порфиров может быть достоверно установлен лишь как посленескокий на основании промывания ими вулканогенных образований матейской свиты. Однако непосредственно к северо-востоку в бассейне р. Чабыт даеки и жилы аналогичных пород проявляют пластовые тела палеогеновых андезитов и андезито-базальтов (Станев и др., 1960). В то же время в регионе не известны проявления математической деятельности в неогене. В связи с этим возраст фельзит-порфиров определяется как палеогеновый.

## ТЕКОНИКА

Территория листа расположена в зоне соединения Сибирской платформы и Охотского тектоно-магматического пояса. Одной из наиболее характерных черт строения района является наличие двух разновозрастных структурных планов. Древний (протерозойский -

палеозойский) структурный план характеризуется субмеридиональной и север-северо-восточной ориентировкой краевых складок шлифовых изогибов мечеванской свиты (Станев и др., 1962). На фоне этой моноклинали наблюдается небольшие складки. Оси их обычно ориентированы в субмеридиональном направлении. Такие складки отмечаются в бассейнах р. Дяг-да, в среднем течении р. Большой Комуя, на водоразделе рек Олондо

и р. Марка. В пределах территории листа четко выделяются два структурных яруса: нижний, в строении которого принимают участие длисто-рованные осадочные и вулканогенно-осадочные средне- и верхне-протерозойские и кембрийские образования, а также тела средне-протерозойских граносиенитов, и верхний, сложенный слабо дислокированными мезо-кайнозойскими вулканогенными образованиями (рис. I).

Кроме того, существенную роль в строении района играют огромные батолитоподобные массивы меловых гранитоидов.

### Нижний структурный ярус

Нижний структурный ярус представляет собой чехол Сибирской платформы. Здесь выделяются две крупные структуры - Майский прогиб и Биличанское горстообразное поднятие. В пределах плоскости листа наблюдаются лишь незначительные локальные участки этих региональных структур, которые прослеживаются на север и северо-восток на сотни километров.

Майский прогиб расположен в западной и северо-западной части плоскости листа. В строении его принимают участие верхне-протерозойские (майская и устьская серии) и нижнекембрийские терригенно-карbonатные отложения, суммарная мощность которых достигает 3-3,5 км. В центральной части плоскости листа прогиб ограничен крупным взбросом, отделившим его от Биличанского горста. Для Майского прогиба в пределах территории листа характерно моноклинальное, иногда слабоволнистое залегание пород с падением в восточном и северо-восточном направлении под углом от 8-10 до 15-20°. На фоне этой моноклинали наблюдаются небольшие складки. Оси их обычно ориентированы в субмеридиональном направлении. Такие складки отмечаются в бассейнах р. Дяг-да, в среднем течении р. Большой Комуя, на водоразделе рек Олондо

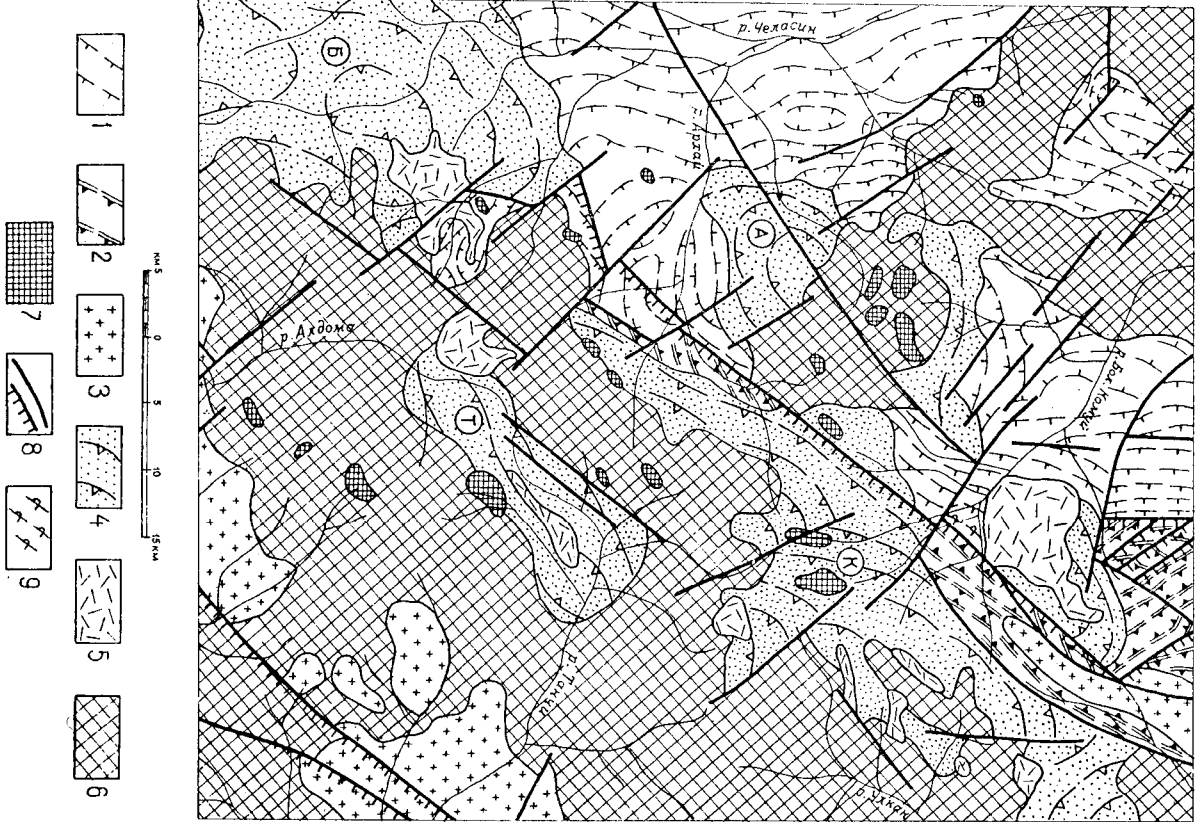


Рис. I. Тектоническая схема. Составил А.Л.Ставлев

I-3 – нижний структурный ярус – ислоцирование средне- и верхнепротерозойские и кембрийские образования: 1 – Найский прогиб, выполненный верхнепротерозойскими и кембрийскими отложениями. Мокклиниль (10-20°), осложненная пологими (25-30°) складками. Линии соответствуют направлениям простирания пластов, штрихи указывают направления падения; 2 – Бийкичанско-горстообразное поднятие, сложенное среднепротерозойскими образованиями, разбитыми на отдельные блоки, которые осложнены интенсивной складчатостью (до 45-50°); линии соответствуют направлению простирания пластов, штрихи указывают направления падения; 3 – массивы среднепротерозойских гранитоидов, кварцевых порфиров, в южной части – слабо дислоцированые мезо-кайнозойские вулканогенные образования; 4 – впадина Прележугдужского наложенного прогиба, выполненные слабо дислоцированными (до 10-15°) нижнемеловыми вулканогенными образованиями (нижний подъярус); линии соответствуют направлениям простирания покровов, штрихи указывают направления падения (Б – Бийкичанская, Т – Танчикская, А – Архейская, К – Комицкая впадина), 5 – горизонтально-но лежащие покровы верхнечелочных и палеогеновых вулканогенных образований (верхний подъярус); 6 – крупные батолитообразные прерывистые массивы меловых гранитоидов, на отдельных участках имеющие крутонахищие контакты; 7 – мелкие штоки верхнемеловых гранитов и палеогеновых габброидов; 8 – разрывные нарушения, штрихи указывают направление падения плоскости смещителя; 9 – опрокинутое залегание

и Бурунда. В верховьях рек Аркай и Гоночан и на северных склонах горы Корде наблюдаются складки с субширотным простиранием. Амплитуды всех этих складок колеблются в пределах 0,1-0,5 км, размах крыльев составляет 2-10 км. Углы падения на крыльях обычно не превышают  $25\text{--}30^{\circ}$ , в одном случае достигают  $45^{\circ}$ . Складки прослеживаются вдоль простирации или очно на несколько километров (до 10-15 км). В верховьях р.Бол.Кумут близ крупного разлома наблюдается синклинальная складка с подвернутым и запрокинутым восточным крылом.

билиячанская горстообразное поднятие расположено в северо-восточной части площади листа. Ширина поднятия не превышает 15 км, протяженность от верховьев р.Архай до верховьев р.Джаг-дак-Авланджа составляет 50 км.

В пределах поднятия развиты наиболее древние горизонты средне- и верхнепротерозойских отложений - терригенные и пульканические образования уянской, учурской и низов

на карте гравиров А Та. С нижним структурным ярусом генетически связаны ксенолитоподобные массивы среднепротерозойских кварцевых порфиров и граносиенитов в бассейнах рек Алдома и Танчи.

С древним структурным планом связаны нарушения субмеридиональной и северо-восточной ориентировки. Они представлены взбросами с круто падающими на восток и юго-восток плоскостями смещения и с поднятыми восточными блоками. Амплитуды перемещения обычно составляют несколько сотен метров и иногда достигают нескольких километров. Так, восточный блок взброса, ограничивавшего Биятчанское горстообразное поднятие с запада, поднят на 4–5 км. Амплитуда взброса на правобережье р.Бол.Компьютинг достигает 2,5 км. Реже встречаются вертикальные разломы. Характерно, что амплитуды смещения затухают в направлении с северо-востока на юго-запад, где они обычно не превышают нескольких сотен метров.

группа разломов, прослеживающихся в верховых рек Былакчан, Джагдак-Аяндана, Бол.Комуй и Архай. По всей вероятности, эта группа разломов контролирует зону Былакчанского глубинного разлома, крупной региональной структуры, протягивающейся на сотни километров за пределы описываемой территории. К системе северо-восточного простирания относится также группа разломов в нижнем течении р.Алданы. Амплитуды перемещения по нему не превышают первых сотен метров, плоскость сместителя круто падает на восток. Некоторые из разломов северо-восточного простирания хорошо выражены на карте гравиц. д. Та (рис.2). Так, наиболее четко реекая смена значений приращения магнитного вектора наблюдается по линии нарушения, прослеживающегося из долины р.Олгондо в долину р.Аннка I, а также по линии нарушения, прослеживающейся по долине р.Былакчан.

строении Былянчанского горстообразного поднятия, дислоцированы значительно интенсивнее, чем отложения, выполняющие Майский прогиб. Они разбиты на отдельные блоки и смяты в складки, сомкнутые с разрывными нарушениями. Эти складки имеют преимущественно субмеридиональные простирации, углы падения на крыльях обычно составляют  $50^{\circ}$ . Амплитуды достигают 1 км и более, размах крыльев не превышает 3-5 км, часто крупные складки осложнены более мелкими. Совместно с вулканогенно-терригенной толщшей дислокированы и среднепротерозойские интрузивные образования, слагающие субпластины тела. Они, по-видимому, имеют круглоголовающие контакты. Не исключена возможность, что в зоне Былянчанского горстообразного поднятия имеются и запрокинутые на запад складки, так как обычно наблюдаются лишь восточные и северо-восточные падения. Полная же расшифровка внутренней структуры покояния чрезвычайно затруднена из-за плохой обнаженности, близкого литологического состава толщ, широкого разнообразия разрывных нарушений. Майский прогиб и Былянчанское горстообразное поднятие характеризуются, главным образом, отрицательными значениями  $\Delta$  Та, в результате чего они четко выделяются

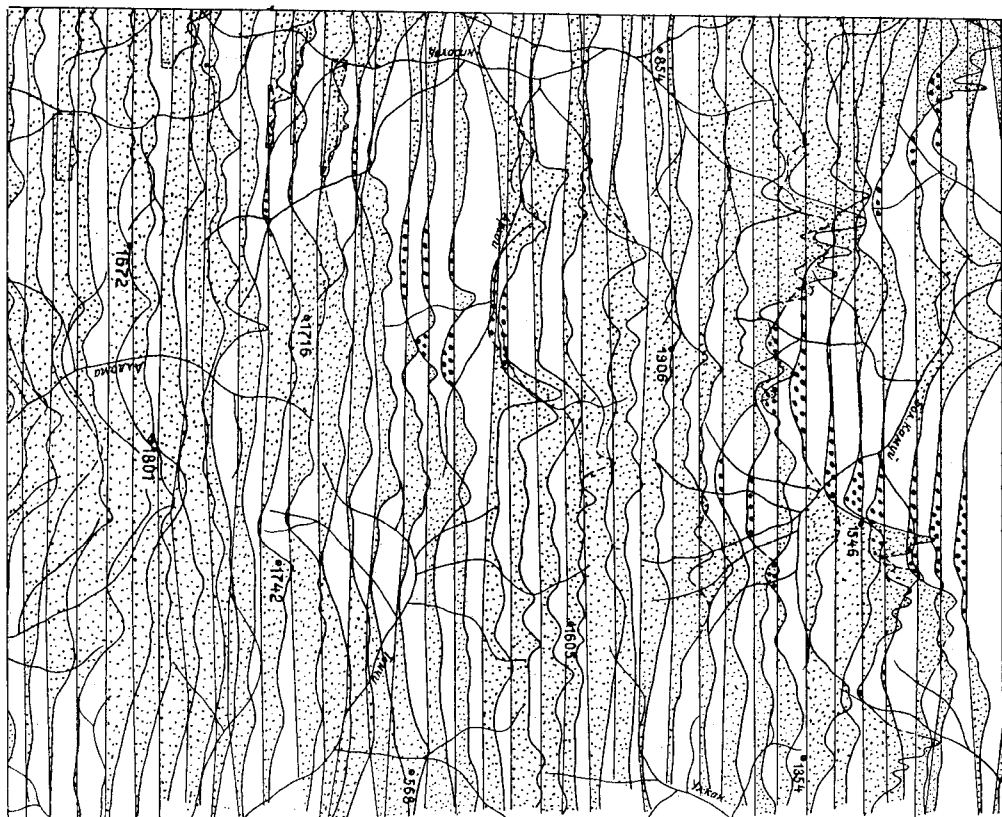
начале мезозоя в связи с тектоническими напряжениями в Верхомеловой складчатой области (мезозойская тихоокеанская фаза складчатости) (Моралев, Станчев, 1961).

#### Верхний структурный ярус

В строении верхнего структурного яруса принимают участие мезо-кайнозойские вулканогенные образования. Здесь выделяются два подъяруса: нижний, сложенный нижнемеловыми слабо дислоцированными вулканогенными породами, и верхний, образованный практически не дислоцированными верхнemеловыми и палеогеновыми вулканическими покровами.

Нижнemеловые вулканогенные образования в пределах площади листа выполняют наложенные впадины, представляющие собой северо-восточную часть крупной региональной структуры - Предкинг-джурского наложенного прогиба, протянувшегося на юго-запад на протяжении 300 км. Наложенный характер прогиба определяется тем, что он без заметного изменения собственных структурных особенностей накладывается на различные структуры древнего (поздне protерозойско-палеозойского) структурного плана.

В пределах описываемой территории вулканогенные образования выполняют четыре крупные впадины - Биранджинскую (бассейн р.Биранджа), Танчинскую (верховья р.Танчи), Архайскую (правобережье р.Архай) и Комуискую (верховья р.Бол.Кому). Наибольшая амплитуда прогибания (1,3 км) отмечается в Биранджинской впадине. Здесь развиты породы немудранской и малейской свит, которые плавно (под углами 1-3°) погружаются в южном направлении. Это склоновое залегание осложнено плавными срахисанклинальными изометричными складками. Размер их в диаметре достигает 10-12 км, амплитуда не превышает 0,3-0,5 км, углы на крыльях достигают 5-7°. В верховьях р.Бол.Кому также развиты образования и немудранской и малейской свит. Здесь преобладают пологие (1-3°) падения в юго-восточном направлении. В пределах же Танчинской и Архайской впадин развиты, главным образом, лишь порфириты немудранской свиты, для которых характерна поголюгия (1-5°), падения от периферии впадин к центру. В связи с тем, что в Танчинской и Архайской впадинах наблюдается неполный разрез вулканогенных образований (по существу отсутствует малейская свита), можно предположить, что в центральной части территории листа в нижнemеловое время имело место поперечное под-



нение, вытянутое в северо-западном направлении. Возможность существования такой структуры подтверждается также общим положением территории листа в регионе, по существу, на границе двух крупных региональных структур - Преликучинского и Ульинского наложенных прогибов (Мордлев, Ставлев, 1961).

Верхнемеловые и палеогеновые вулканогенные образования, слагающие верхний подъярус, развиты неизначительно и залегают практически горизонтально; в лишь волнистые разрывные нарушения иногда наблюдается наклонение залегания (до 10-15°). С мезокайнозойским структурным планом связаны разрывные нарушения северо-западной ориентировки. Они представлены разломами с вертикальными плоскостями смещения и с незначительными амплитудами, обычно не превышающими первых сотен метров. Лишь изредка амплитуда смещения достигает 2 км и более (правобережье р.Бол.Комуй). Иногда наблюдаются сложные движения, когда вдоль линии нарушения в одном и том же блоке положительные смещения сменяются отрицательными (бассейн рек Олгондо и Бурунда). Четко выражается группа разломов, прослеживающаяся по правобережью р.Бол.Комуй. Возможно, что эта группа разломов отвечает северо-восточной границе поперечного поднятия, о котором говорилось выше. В бассейнах рек Бурунда, Олгондо, Архай и Гоночан можно заметить группу разломов северо-западной ориентировки, которая ограничивает поперечное поднятие с юго-запада. Не исключена возможность, что эта система нарушений заложилась в связи с формированием поперечного поднятия.

Вся юго-восточная часть и значительные участки в центральной и северо-западной части территории листа сложены огромными батолитоподобными массивами меловых гранитоидов. Последние в большинстве случаев имеют пологие контакты, что подтверждается незначительными изменениями  $\Delta$  Та (верховья р.Бырянка, рек Ангжа I, II, III, водораздел рек Улкан и Бол.Комуй). Реже наблюдаются резкие изменения  $\Delta$  Та, сопровождающиеся о крутых контактах массивов (нижнее течение р.Бол.Комуй, р.Гоночан). Возможно, что массивы меловых гранитоидов на водоразделе рек Челасин и Бол.Комуй в структурном отношении связаны с поперечным поднятием. В региональном плане интрузии меловых гранитоидов, по всей вероятности, приурочены к зоне региональных разрывных нарушений Станового хребта и Джулькура, окаймляющих с юга и юго-востока Сибирскую платформу. Эту зону называют иногда южной геоантклинального поднятия.

Значительно меньшую роль в структуре района играют мелкие складки верхнемеловых гранитов и палеогеновых габброидов.

#### ИСТОРИЯ ГЕОЛОТИЧЕСКОГО РАЗВИТИЯ

В истории тектонического развития территории выделено два основных этапа: средне-позднепротерозойский и мезозойский. В среднепротерозойское время в зоне Балыкчанского глубинного разлома в результате интенсивного прогибания земной коры находит формирование грабенообразный прогиб, который выполняется мощной толщей терригенных и вулканогенно-терригенных образований Уянской и Учурской серий. Прогиб прослеживался далеко на юг, о чем свидетельствуют многочисленные ксенолиты песчаников алгатейской синты в бассейне р.Алданы. Формирование прогиба наряду с вулканической деятельностью сопровождалось и внедрением кислой и щелочноймагмы. В майское время контрастность движений земной коры уменьшается, одновременно с этим прогибание захватывает значительные территории - формируется Майский прогиб. При этом в начале майского времени в зоне Балыкчанского глубинного разлома прогибание было значительно более интенсивное, чем к западу от него, о чем свидетельствует мощность отложений энинской синты на западе (200 м) и на востоке (1500 м).

Позднее контрастность движений земной коры в пределах майского прогиба резко уменьшается. Так, мощность отложений бахадинской синты изменяется соответственно от 500 до 750-800 м. В конце позднепротерозойского времени происходит резкое поднятие в зоне Балыкчанского глубинного разлома, в результате которого верхние горизонты верхнепротерозойских отложений были ародированы. Возможно, что именно с этими движениями и связан интенсивный динамометаморфизм протерозойских образований, развитых в зоне Балыкчанского глубинного разлома. В связи с формированием Балыкчанского и Майского прогибов и Балыкчанского горстообразного поднятия закладываются разломы северо-восточного и субмеридионального направления.

В конце палеозоя - начале мезозоя по этим нарушениям имели место блоковые подвижки, сформирование структуры, не свойственные платформе, о которых говорилось выше.

В нижнемеловом периоде происходит мощные излиянияlav среднего и кислого состава, формируются наложенные впадины и

прогиб. Нижнемеловая эпоха завершается внедрением огромных масс гранитонистой магмы. По всей вероятности, в это время возникают разломы северо-западного направления.

В зерхнемеловом и палеогеновом периоде происходит незначительные по масштабам излияния кислых и основных лав и обра-зование мелких штоков гранитов и табородлов. К этому времени в основном сформировались современные структуры района.

## ГЕОМОРФОЛОГИЯ

На территории листа наблюдаются следующие типы рельефа: денудационный, денудационно-эрозионный, акзационно-эрозион-ный, аэрозионно-денудационный, ледниково-аккумулятивный и эро-зионно-аккумулятивный.

Перечисленные типы рельефа присущи и области с различ-ной интенсивностью проявления новейших тектонических движений. О характере этих движений можно судить, изучая гипсометрию рельефов древней (палеогеновой) поверхности выравнивания. Так,

в центральной части хр.Джугур (в пределах площади листа) древняя поверхность выравнивания была поднята на абсолютную высоту порядка 2000 м. В северо-западных предгорьях эта же по-верхность установлена на левом берегу р.Челасин, в непосред-ственной близости от территории листа, на высоте 1200-1500 м (Станцев и др., 1963ф). Ещё, в южных предгорьях хребта, в бассейне р.Лантарь (50 км выше границы листа) палеогеновая поверхность выравнивания отмечена на высоте 500-600 м (Голь-денберг и др., 1963).

Резкие колебания абсолютных уровней древней поверхности выравнивания на незначительных расстояниях свидетельствуют о блоковом характере новейших движений. При этом некоторые разломы, по которым происходили перемещения, выражены в рельефе и в настоящее время.

Область интенсивных новейших поднятий в общих чертах от-вечает центральной части хр.Джугур. Здесь, разбиты главным образом, денудационно-эрозионный и акзационно-эрозионный типы рельефа. Область относительно слабых новейших поднятий приурочена к предгорьям хребта и характеризуется аэрозионно-денудационным рельефом (рис.3).

Ниже приводится морфологическая характеристика типов рельефа.

### Денудационно-эрозионный неоген-четвертичный рельеф

Денудационно-эрозионный неоген-четвертичный рельеф раз-вит в области интенсивных новейших поднятий, представлен лесу-ми подтепами.

С ильно растянутыми в долоразде-леми, глубоко врезанными долина-ми с рельефами скользкого лед-никовых форм, разбитый глаЗным о б разом на меловых трапитах. Этот рельеф простягивается на водоразделе рек Алдома и Баранд-ха, в верховьях рек Гончан, Аргай, Бол.Комуй, Билкчан. Абсо-лютные отметки водоразделов в среднем колеблются в пределах 1300-1600 м. Относительные превышения достигают 700-800 м. Слоны круты (до 30°), покрыты осипями глины, часто наблюда-ются скальные останцы. Долины рек узкие, часто U-образные.

Сильное расчленение и рельеф с гребневидными водоразделами, о-зкий и врезанными долинами, раз-зитый на южных породах в юго-западной части площади листа в бассейне р.Быранда. Абсолютные отметки колеблются в пределах 1200-1500 м. Относительные пре-высоты 400-500 м. Слоны обычно рассечены мелкими ветвящимися долинами и промынами, долины рек U-образные с крутыми (до 25-30°) склонами, покрытыми осипями глины.

Денудационный палеогеновый рельеф (древняя поверхность выравнивания) разбит на небольшом участке в центральной части площади листа, в районе горы Топко. Здесь на плоской вершинной поверхности, покрытой суглинком с мелкой щебникой и глыбами гранитов, часто наблюдаются полигональные почвы. Абсолютная высота поверхности 1900 м. Возраст рельефа определяется как палеогеновый на основании находок комплекса спор и пыльцы, отобранных из подпочвенного суглинка на аналогичной поверхно-сти, разбитой западнее (30 км) в бассейне р.Дымчан (приток р.Челасин) (Станцев и др., 1961ф).



Рис. 3. Геоморфологическая схема.

Составил А. Л. Ставцев

1 - денудационный палеогеновый рельеф (древняя поверхность выравнивания); 2 - денудационно-эрозионный неоген-четвертичный рельеф, развитый в области интенсивных новейших поднятий с пологими: а) сильно расщепленный горловый рельеф со склонами склоново-разделами, глубоко врезанными долинами, с реликтами скульптурных ледниковых форм, развитый главным образом на меловых гранитоидах, б) сильно расщепленный рельеф с гребневидными водоразделами, с узкими, глубоко врезанными долинами, развитый на эфузивных породах; 3 - эрозионно-эрозионный, выраженный вертичный - современный рельеф, развитый в области интенсивных новейших поднятий, сильно расщепленный, с карстом, гребневидными склонами водоразделами, узкими глубоко врезанными долинами; 4 - эрозионно-денудационный неоген-четвертичный рельеф, развитый в области относительно слабых новейших поднятий с пологими: а) расщепленный рельеф с округлыми слаженными водоразделами с пологосклонными долинами, с широким развитием горловых террас, развитый главным образом на мезозойских гранитоидах, б) слабо расщепленный рельеф с широкими плосковерхими водоразделами с пологосклонными плоскими долинами, развитый на осадочных породах и мезозойских гранитоидах; 5 - ледниково-аккумулятивный верхнечетвертичный холмисто-горловый рельеф; 6 - озерно-аккумулятивный четвертичный рельеф речных долин: а) пойма (до 4,5 м), б) I надпойменная терраса (7-12 м), в) II надпойменная терраса (15-25 м), г) терраса высотой 50-65 м, д) терраса высотой 110-120 м; 7-20 - прочие обозначения: 7 - скалистые трогевые водоразделы; 8 - пластобразные вершины; 9 - цирконы и кары; 10 - троговые долины; 11 - гольевые террасы; 12 - скальные останцы; 13 - эрозионные уступы, выработанные в косогорных породах; 14 - структурные уступы, образованные пласто-рым антиузвидными тектонами; 15 - карстовые воронки и бирюда; 16 - термокарстовые воронки и бирюда; 17 - конусы выноса; 18 - разрывные нарушения, выраженные в рельфе; 19 - граница типов и подтипов рельефа



Возраст рельефа определяется на том основании, что в палеогене в пределах района сыла развита поверхность выравнивания, в нижнечетвертичное же время уже имела место эрозионная деятельность, о чем свидетельствует наличие высоких террас. По всей вероятности, формирование денудационно-эрэзионного рельефа началось в неогене и продолжается до настоящего времени. В отличие от более южных районов хр.Джукур, где в связи с покровным характером среднечетвертичного оледенения формирование эрозионного рельефа началось лишь в верхнечетвертичное время.

#### Эзарационо-эрэзионный верхнечетвертичный – современный рельеф

Описываемый рельеф, разный в области интенсивных новейших поднятий, сильно расчлененный, с карами, гребневидными склонами водоразделами, узкими глубоко врезанными долинами развит в долинах рек Алдома, Танчи, Улкан, Бол.Комуя и Олгоно. Характеризуется абсолютными отметками водоразделов – 1400–1800 м. Относительные превышения достигают 1000 м. Водоразделы узкие, часто гребневидные и скалистые, склоны крутыне (до 30–40°), обычно покрыты "живыми" осьмиами глыб.

Долины рек и ручьев узкие, в большинстве из них сохранились следы обработки ледником и они имеют четко выраженную горловую форму. В верховых долинах часто замыкаются ледниками цирками и карами. Глубина цирков составляет 300–400 м, диаметр 1–2 км. Плоские днища цирков выполнены отложениями донной морены.

Возраст моренных отложений, а соответственно и оледенения определяется как верхнечетвертичный (см.главу "Стратиграфия"). Эрозионная же деятельность продолжается до настоящего времени. На основании этого возраст эзарационо-эрэзионного рельефа определяется как верхнечетвертичный – современный.

#### Эзарационо-денудационный неоген-четвертичный рельеф

Описаный рельеф развит в области относительно слабых новейших поднятий и представлен двумя подтипами:

Расщлененный рельеф с округлыми сглаженными водоразделами, пологосклонными долинами, с широким разветвлением тольцовидных террас, распространенный главным образом на мезозойских гранитоидах. Этот рельеф отмечается в нижнем течении рек Бол.Комуя и Алдо-ма, в бассейне р.Турманда. Абсолютные отметки водоразделов 1000–1300 м. Относительные превышения до 300–400 м. Характерны пологовыпуклые водоразделы, крутизна склонов которых не превышает 10–12°. Долины рек широкие, с плоскими днищами. Очень характерны вершины с развитыми на их склонах гольдными террасами, имеющими округлые очертания в плане. Изредка наблюдаются гребневидные водоразделы и скальные останцы на водоразделах и склонах.

Слаборасщлененный рельеф с широкими плоскими водоразделами и долинами, пологосклонными и плоскими долинами, развитый на осадочных породах и мезозойских гранитоидах в бассейнах рек Архай, Олгоно, Бурууда, Бийкан, Танчи, в среднем течении р.Бол.Комуя. Абсолютные отметки водоразделов здесь колеблются в пределах 800–1000 м. Относительные превышения 100–200 м. Долины рек широкие, плоские, с пологими склонами (до 5–7°). Часто на склонах наблюдаются ступенчатость, обусловленная чередованием пластов пород различной крепости.

Иногда эти ступени имеют форму крутых уступов. Очень редко наблюдаются скальные останцы и гребневидные водоразделы. Возраст эзарационо-денудационного рельефа определяется как неоген-четвертичный на тех же основаниях, на которых определен возраст денудационно-эрэзионного рельефа.

#### Ледниково-аккумулятивный верхнечетвертичный холмисто-грядовой рельеф

Для описаного рельефа, который наблюдается на участках развития ледниковых отложений, характерно наличие боковых и конечных линейно-пятнистых гряд. Относительная высота отдельных из них достигает 60–80 м, протяженность 1,5–2 км. В западных, часто заболоченных, наблюдаются многочисленные озера

протаивания, подиражания и каровые озера. Возраст рельефа определяется как верхнечетвертичный согласно возрасту ледниковых образований (см. главу "Стратиграфия").

### Эрозионно-аккумулятивный четвертичный рельеф речных долин

Долины крупных рек (Челасин, Аргай, Бол.Комуя, Алтана) обычно широкие (до 2-6 км), с хорошо развитыми поймой и высокой поймой (высотой до 4,5 м). Последние часто заболочены, много старичных озер.

I и II надпойменные террасы характеризуются соответственно высотами 7-12 и 15-25 м. Развиты они в долинах большинства крупных рек. Поверхность террас ровная, иногда слабо наклоненная к руслу реки. Уступ обычно выражен хорошо, типовой щов частично перекрыт делювиально-проливальными и делювиальными отложениями. Изредка наблюдаются скользкие террасы.

Более высокие уровни террас - 50-65 и 110-120 м - отмечены лишь в долине рек Гоноган и Алдома. Эти террасы скользкие, мощность алювиальных отложений на них не превышает 10-15 м.

Возраст рельефа как четвертичный определяется на основании возраста алювиальных отложений (см. главу "Стратиграфия").

### ПОЛЕЗНЫЕ ИСКОПАЕМЫЕ

Территория листа располагается в пределах Дугутукской медно-полиметаллической металлогенической провинции, принадлежащей к Гылбеканско-Алданскому рудному поясу. На площади листа известны многочисленные проявления рудной минерализации, из которых наиболее важными представляются медные, полиметаллические, боревые, редкоземельные, а также ртутные и молибденовые. Кроме того, известны мелкиерудопроявления железа.

#### МЕДАЛЬНЫЕ ИСКОПАЕМЫЕ

##### Ч е р н ы е м е т а л л и

##### Гематитовые и лимонитовые руды

На территории листа известно рудопроявление железа, связанное с осадочными породами.

В междууречье Бурунды и Олгоондо (20) породы первой половины лахандинской свиты в нижней части разреза вмешают три линзы лимонитизированных глинистых пород, разделенных прослоями аргиллитов, мощностью в 1,5-2 м. Линзы вытянуты параллельно склонности аргиллитов и имеют мощность от 5 до 20-30 см, простираются и натягиваются текстурами железистые породы разбиты трещинами. Химический анализ штучной пробы железистой породы установлен следующий состав (в %): SiO<sub>2</sub> - 8,88; (Al<sub>2</sub>O<sub>3</sub> + TiO<sub>2</sub>) - 12,67; Fe<sub>2</sub>O<sub>3</sub> - 63,61; FeO - 0,63; CaO - 0,70; MgO - 0,41; SO<sub>3</sub> - 0,08; MnO - 0,68; P<sub>2</sub>O<sub>5</sub> - 0,19; (Na<sub>2</sub>O + K<sub>2</sub>O) - 0,47; п.п. - 12,42; сумма - 100,74. Спектральным анализом в руде обнаружены марганец, медь, цинк в количестве до десятих долей процента, никель - от следов от сотых долей процента, молибден, кобальт, вольфрам - до сотых, синец - до тысячных долей процента.

Бурожелезистые руды сами по себе не имеют практического значения. Они представляют собой маломощные прослои осадочных руд и гипergенные ильмень-травертиновые образования и не образуют сколько-нибудь крупных тел. Обращает на себя внимание высокое содержание глиноэзема.

В пределах площади листа известны также мелкие проявления магнетитовых руд в скарнах с медной или боровой минерализацией (см. ниже).

По данным шлихового опробования, алювиальные отложения всех водотоков района содержат магнетит в количестве нескольких сот граммов на тонну. Резко повышенных концентраций его не отмечено даже вблизи проявлений магнетитовой минерализации в скарнах. Это, очевидно, свидетельствует о незначительных размерах скоплений магнетита в скарнах. Отсутствие крупных коренных проявлений магнетитовых руд подтверждается также данными аэромагнитной съемки. В районе не зафиксировано сколько-нибудь значительных локальных магнитных аномалий.

Все сказанное выше позволяет дать стратиграфическую оценку перспектив района на железо kontaktово-метасоматического генезиса. Принимая во внимание минимально необходимые запасы осадочных месторождений железа (миллионы тонн руды), размеры и форму выявленных рудных тел, перспективы района в отношении осадочных железных руд также нельзя оценить положительно.

## Титан

Коренные рудопроявления титана в районе не известны. Минералы титана (ильменит, титаномагнетит, сфен, анатаз, рутил, брукит) присутствуют в аллювиальных отложений почвы, русла и высоких террас совместно. Значительно реже встречаются пелевит, который в шлихах обычно ассоциирует с минералами редких элементов.

Ильменит и титаномагнетит встречаются совместно, в полавляющем большинстве случаев в количестве до 50 г/т. Повышенные концентрации до 500–700 г/т отмечены в бассейне р.Лягала.

Сфен встречается в знаках и редких зонах, повышенные концентрации его (до 40 г/т) фиксируются там же, где и высокие концентрации окислов титана.

Анатаз, рутил, брукит встречаются спорадически в знаках и редких зонах.

Коренными источниками сноса ильменита и титаномагнетита являются интрузивные породы основного и среднего состава (нижненемеловые, палеозойские и протерозойские), в которых эти минералы присутствуют в качестве акцессорных. Сфен является характерным акцессорным минералом джульджурских гранитоидов. Анатаз, рутил, брукит известны в контактовых роговицах.

Незначительные размеры интрузивных тел основного состава в пределах территории листа, отсутствие в них повышенных концентраций титана позволяет отрицательно оценить перспективы района на этот металл.

## Цветные металлы

### Медь

Медь	Свинец	Цинк	Серебро	Висмут	Мышьяк	Олово
Химический анализ, %	0,44	0,04				
Спектральный анализ, %	1,0	0,001	0,03	0,001	0,01	0,3–1,0

Бурундинское рудопроявление представляется перспективным, в связи с большими размерами зоны скарнированных пород и довольно высоким содержанием меди.

Курьинское рудопроявление (2).

В верховых р.Бурунда вдоль контакта верхнемеловой гранитной интрузии с циплинскими доломитами разбросаны мелкие штоки и жилы верхненемеловых лейкократовых турмалиново-микролитигитовых гранитов. Здесь же наблюдается зона мраморизации и тромолитизации доломитов, шириной в среднем не менее 500–700 м, достигая иногда 1,5 км, протяженностью 8–10 км.

Среди мраморизованных и тромолитизированных доломитов отмечаются участки развития скарнов, несущих мелкую минерализацию. Скарны приурочены в основном к контактам доломитов с жильными палеозойскими изменениями габбро-диабазами, что говорит скорее всего о биметасоматическом генезисе основной массы скарнов.

В верховьях левого круглого притока р.Бурунда скарны несут мелкую минерализацию. Рудоносные скарны образуют меридионально вытянутую полосу видимой протяженностью около 60 м и шириной 0,4–0,6 м.

Скарны представляют собой желтовато-зеленые полосчатые мелкозернистые гранатовые породы с халькопиритом и магнетитом. Рудные минералы образуют крупные (до 5–7 см) скопления, вытянутые по полосчатости. Минералогическим анализом шлихов из прототипов рудоносных скарнов установлены халькопирит, малахит, азурит, кобальтий, арсенопирит, магнетит.

Данные химического и спектрального анализа бороздовой пробы из рудоносных скарнов сведены в таблицу.

Наибольший интерес представляет участок развития пироксеновых и гранат-пироксеновых скарнов, расположенный в 500 м восток-юго-восточнее высоты 1148,0. Здесь на залежанной поверхности пологосклонного бокового хребтика в непосредственной близости от скальных обнажений верхнемеловых гранитов и юго-восточнее их, на площади около 100x100 м, наблюдаются обломки и глыбы зеленовато-серых и зеленовато-бурых пироксеновых, магнетит-гранатовых и гранат-пироксеновых скарнов (часто актинолитизированных), темно-зеленых скарнированных жильных пород основного состава, амфиболовых скарнов с турамилином. В гранат-пироксеновых скарнах и скарнированных жильных породах отмечена гнейсово-желленная медная минерализация.

По данным минералогического анализа протолочек, указанные породы содержат халькопирит, малахит, самородную медь, ковеллин, шеелит.

Содержание меди, по данным химического анализа штучной пробы, достигает 0,3%. Спектральным анализом в рудноносных породах установлено присутствие следующих элементов: медь более 1%, марганец 0,3-1%, титан, молибден, синец, кобальт, серебро в количестве 0,001%, висмут и никель - 0,003%, цинк - 0,03-0,1%, олово 0,01%.

Куринское рудопроявление представляется перспективным в связи с большими размерами зоны контактного изменения пород. Кроме описанных крупных рудопроявлений на площасти листа известны более мелкие.

На левобережье р. Танчи (24) небольшой участок (около 400 м<sup>2</sup>) размывия скарнов с магнетитом и халькопиритом приурочен к контакту розовых мелко- и среднезернистых гранитов двухкрупного интрузивного комплекса с рассланцованными гнейсовидными мелко- и среднезернистыми темно-серыми и серыми оливитовыми, биотит-кварц-полевошпатовыми, кварц-актинолитовыми роговиками. Глыбы (до 30x40 см) скарнированных пород отмечены на крутом склоне в осиши размером 10x40 м. Среди скарнов, представляющих собой массивные зеленоватые породы, по составу выделяются пироксеновые, актинолитовые, актинолит-пироксеновые и гранат-пироксеновые. Рудными минералами обогащены пирокено-вне и актинолитовые скарны, в которых минералогическим анализом широк из протолочек установлено присутствие следующих полезных компонентов: халькопирит (до 560 г/т), ковеллин по халькопириту (2 г/т), малахит (знаки), магнетит (14 кг/т). По данным спектрального анализа штучных проб в скарнах отмечается

следующие элементы: медь (до 1,0%), молибден, синец, никель, хром, серебро, олово (0,001%), титан (0,001%), марганец (0,1%), кобальт (следы).

На левобережье р. Танчи к югу от перевала Тыгурманского (37) в серых гранитоидах двухкрупного интрузивного комплекса отмечена зона дробления восток-северо-восточного простирания шириной около 20 и протяженностью 40-50 м. Катаклизированные гранодиориты содержат рассеянную мелкую вкрапленность халькопирита, которая приурочена к мелким тонким прожилкам эпидота. По халькопириту развивается малахит. Изредка отмечается магнетит.

На левобережье р. Гоночан (27) среди горючих тогонских скважин отмечены многочисленные обломки белого жильного кварца с вкраплением мелких кристаллических горного хрусталя и вкрапленности малахита. Минералогическим анализом протолочки в жильном кварце установлены халькопирит - редкие знаки, ковеллин - знаки, а также пирит, амфибол, плюмит, амфибол. По данным спектрального анализа штучной пробы, в жильном кварце присутствуют следующие элементы: медь, цирконий - 0,003%; синец, никель, висмут, олово, галий - 0,001%; титан - 0,1%; иттерий - 0,0001%; марганец - 0,01-0,03%; следы ванадия и молибдена.

В низовьях р. Биранджа (43) каслье эффузии магейской стации прорваны мелкими кварцевыми жилами с узкой вкрапленностью халькопирита и малахита. Содержание полезных минералов не превышает редких знаков.

Все описанные мелкие проявления медной минерализации не представляют практического интереса в связи с небольшими размерами и незначительными содержаниями меди.

Помимо рассмотренных выше рудопроявлений меди, в районе известна медная минерализация в проявлениях полиметаллов (см. выше).

Минералы меди в аллювиальных отложениях встречаются очень редко. Известно всего три случая находки редких знаков халькопирита, малахита и ковеллина в верховых р. Гоночан, где размыты скарнированные карбонатные протерозойские породы. Редкие знаки халькопирита и ковеллина отмечены в двух широких одно из правых притоков р. Архай.

По данным металлометрического опробования, кроме Назаровского рудопроявления полиметаллов (32), а также Гоночанского бордового рудопроявления (34), где содержание меди превышает 1% (спектральный анализ), намечается еще шесть первичных ореолов

рассеяния меди с содержанием до 0,1% (местный геохимический фон меди составляет 0,001%). Четыре из шести ореолов падают на участки распространения нижнемеловых гранитоидов и экзоконтактных пород (7, 38, 41, 40). Пятый ореол, на правобережье р. Былжан (16), располагается вблизи зоны разлома, пересекающего эфузивные породы Немдиканской и Малейской свит. Шестой ореол (11) расположен в верховых р. Ишандак-Аланда и охватывает зоны разломов в нижнемеловых Кужаногеных толщах и залипные контакты небольшого массива джульгарских гранитоидов.

Возможно, что в пределах намеченных ореолов рассеяния также могут быть обнаружены коренные проявления медной минерализации. Широкое распространение в пределах территории листа зон контактов мезозойских мезократовых гранитоидов с верхнепротерозойскими карбонатными отложениями, интенсивное развитие процессов скарнирования, создает благоприятную обстановку для формирования месторождений меди контактово-метасоматического генезиса.

Кроме того, значительное различие разрывных нарушений, многие из которых сопровождаются зонами пробления и интенсивной гидротермальной переработки пород обуславливают возможность нахождения проявлений меди минерализации гидротермального генезиса, имеющих промышленное значение.

И, наконец, в пределах площади листа широко развиты эйфоритовые образования, в основном среднего и кислого состава, которые прорваны гранитоидами джульгарского комплекса. Это создает благоприятную обстановку для формирования проявлений гидротермальной проявило-карбонатной медной минерализации. Возможность такой минерализации подтверждается общей зараженностью вулканогенных образований меди, наличием металлометрических ореолов рассеяния меди.

Из описанных выше проявлений медной минерализации наиболее интересными и заслуживающими проведения дальнейших исследований являются Бурундинский и Кургинский участки. Это обосновано наличием в пределах последних достаточно высоких содержаний меди, а также крупных зон скарнирования, с которыми на соседних площадях генетически связаны промышленные концентрации меди (Малокумское месторождение).

## Полиметаллические руды

В пределах территории листа известно шесть рудопроявлений полиметаллов.

Назаровское рудопроявление полиметаллов (33). Развитие на водоразделе рек Тончан и Нагданьи бедные кристаллические доломиты цилиндрической свиты, известняки и алевролиты лахандинской свиты, прорванные гранитоидами джульгарского интрузивного комплекса, перекрыты темно-серыми и зелено-серыми порфиритами, туфами и туфоконгломератами тогогской свиты. Все указанные породы прорывают в верхнемеловыми разрозненно-серыми микрогранитами и микролегматитовыми гранитами, обрашающими небольшие штокообразные тела. К контакту одного из таких тел с лахандинскими известняками и алевролитами и приморья рудоносная зона.

Темно-серые оротовиковые алевролиты и зелено-серые скарнированные известняки залегают почти горизонтально и имеют здесь мощность около 50 м. Среди них на гребне залежи водораздела и склонах южного хребтика на участке площадью 20х60 м наблюдаются обломки кальцито-хлоритовых, серпентин-хлорит-карбонатных и мусковит-хлоритовых пород, содержащих обильные гнейсово-карбонатные скопления малахита. По данным минералогического анализа, в протолюках из этих пород обнаружены халькопирит, малахит, перуссит, вульфенит, каламин, лимонит, гематит, пирит, сфен, лейкоксен, анатаз, гранат.

Таким образом, очедение связано с гидротермальными скарнистыми-халькопиритовыми и хлорито-карбонатными жилами, секущими скарнированные и оротовиковые породы лахандинской свиты.

По данным химического анализа штучной пробы, содержание меди в рудоносных породах достигает 6,39%, синька 0,21%, никеля 1,87%. Спектральным анализом в них кроме указанных элементов установлены (в %): серебро 0,006; кадмий, никель 0,003; кобальт, цинк 0,001; германий, бериллий — менее 0,001; кальций 0,001; хром, никелит 0,03; титан, марганец 0,3-1; мышьяк 0,01; следы галлия и ванадия.

Площадным металлометрическим опробованием установлено, что площадь обогащения меди, синьком и цинком (более 1%) составляет около  $700-1000 \text{ м}^2$ . Рудоносная зона обогащена серебром (0,01%), молибденом (0,3%), оловом (0,1%), в повышенных концентрациях здесь присутствует также никель (0,3%) и кобальт (0,06%).

Назаровское рудопроявление полиметаллов представляется весьма перспективным, в связи с высокими содержаниями полезных компонентов и значительными масштабами зоны оруденения.

Значительным рудопроявлением полиметаллов является Бильт-Качанское (4). На захваченном водоразделе рек Былка-Чан и Бурунда, где развиты белые мраморизованные доломиты цинн-длинской смыты, отмечен прослой темно-серых шлифатных мелкозернистых скарнированных карбонатных пород с экзарпинитом и сфalerитом. Мощность рудного тела около 0,5-0,7 м. Продолжительность выхолов скарнированных пород с экзарпинитом и сфalerитом. Мощность рудного тела около 0,5-0,7 м. Продолжительность этих минералов около 40-50 м. Здесь же отмечаются выхолки светлых плотных палеогеновых фельзит-порфиров (часто с обильной экзарпинитостью пирита), слагающих жилы, судя по выхолкам обломков, мощностью около 25-30 м и продолжительностью 100-150 м. По всей видимости, с описанными жилами связана полиметаллическая минерализация в карбонатных породах цинндинской смыты.

По данным минералогического анализа прототипки, скарнированные карбонатные породы содержат галенит, сфalerит, перуссит. Химическим анализом бороздовой пробы установлено, что содержание свинца составляет 0,51%, цинка 0,16%, меди 0,02%. По данным спектрального анализа этой же пробы, породы содержат свинец 1,0%, цинк 0,3-0,6%, серебро и германий по 0,003%.

Описанное рудопроявление, безусловно, представляет интерес. В пользу этого говорят значительные размеры и пластовая форма рудного тела, высокое содержание полезных компонентов. На правобережье р.Джалак-Альянджа (10) в эзоконтакте небольшого штокобразного тела верхнемеловых гранит-порфиров с алевролитами третьей подситы лахандинской смыты развиты кварцевые жилы. Площадь распространения обломков жильного ноздреватого кварца с экзарпинитостью галенита, сфalerита, молибдена и примазками медной зелени составляет 20x100 м. По данным химического анализа штуцерной пробы, содержание свинца составляет 0,07%, цинка 0,03%, меди 0,08%.

Малые размеры жильного поля и отдельных жил и низкие содержания полезных компонентов не позволяют считать данное рудопроявление перспективным.

Кроме описанных проявлений известны мелкие участки полиметаллической минерализации (явленные в процессе поисковых работ, проведенных в 1961 г. под руководством В.А.Сиссеева). Так, на правобережье р.Бол.Комуя (6) в орогенитованных извест-

нях лахандинской смыты, на контакте с верхнемеловыми гранитами минералогическим анализом прототипки обнаружены единичные знаки халькопирита, галенита, циркона. Спектральным анализом этой же пробы установлены (в %): медь 0,02, свинец 0,6, цинк 0,5, серебро 0,001, никель 0,002, кобальт 0,006.

На водоразделе рек Ильячан и Улан (18) в гранодиоритах джугджурского комплекса встречены жиль кварца с узкой экзарпинитостью галенита. Мощность жил не превышает 1 м, продолжительность — 70-80 м. Минералогическим анализом прототипки в жильном кварце обнаружены знаки галенита, вулфенита, перуссита, халькопирита. Спектральным анализом в этой же пробе установлены (в %): свинец до 1, цинк 0,7, медь 0,005, серебро, никель, кобальт 0,001.

На водоразделе рек Ильячан и Джагда (8) в эзоконтакте джугджурских гранитоидов отмечается хлоритизированное биотитовые граниты с редкой мелкой экзарпинитостью галенита. Спектральным анализом штуцерной пробы установлены свинец, цинк до 1%, медь 0,005%, серебро 0,001%.

Все три описанных участка не представляют промышленного интереса, в связи с незначительными масштабами рудной минерализации.

Минералы смыты в шлифах встречаются довольно часто, сфalerит обнаружен лишь в одной пробе. Особый интерес представляет ореол минералов свинца в верховых р.Гоночан (31), где во всех (32) взятых шлифах наблюдаются галенит, перуссит, вулфенит, ванадинит, пироморфит, антимонит в количестве знаков и редких знаков. Коренные источники их сноса остались невыясненными. Однако развитие здесь верхнепротерозойских карбонатно-терригенных пород и ручьев их верхнемеловых гранитов, образующих мелкие штокобразные тела, позволяет предполагать здесь налицо проявление полиметаллов скарнового типа.

Площадным металлогеометрическим опробованием на участке Назаровского рудопроявления полиметаллов выявлен ореол рассеянния меди, свинца и цинка (содержание более 1%), здесь же отмечается повышенное содержание серебра — 0,01% (32). На участке (34) Гоночанского рудопроявления бора выявлен металлогеометрический ореол рассеяния меди (более 1%), свинца (0,1%), цинка (0,3%), а также никеля (более 1%), германия (0,01%), олова (0,1%).

Кроме того, в пределах территории листа выявлены металлогеометрические ореолы рассеяния свинца в верховых р.Танчи (40).

и на водоразделе рек Джагда и Илжан (5). В обоих случаях ореолы приу铮ены к kontaktам джукурских гранитоидов с порфиритами немуйканской свиты. Содержание свинца, по данным спектрального анализа, составляет 0,01-0,1% (при местном геокимическом фоне в 0,001%). Возможно, что в пределах этих ореолов могут быть обнаружены коренные проявления свинца и полиметаллов.

Широкое распространение в пределах плоскости листа зон контактов гранитоидов с карбонатными породами, а также обильные разрывных нарушений, многие из которых сопровождаются интенсивной гидротермальной переработкой, создают благоприятную обстановку для формирования месторождений полиметаллов гидротермального и контактно-метасоматического генезиса. Это позволяет высоко оценить перспективы района на полиметаллы. В первую очередь, большого интереса заслуживает Назаровское и Билькачанское рудообразования.

#### Никель

Минералы никеля не обнаружены ни в коренных породах, ни в рыхлых отложениях. Шлаковым металлометрическим опробованием на Гончанском рудообразовании бора выявлен вторичный ореол рассеяния никеля (34) с содержанием, значительно превышающим 1% (спектральный анализ). На Назаровском рудообразовании полиметаллов в отдельных металлометрических пробах содержание никеля, по результатам спектрального анализа, достигает 0,3% (33). Кроме того, незначительные содержания никеля (0,001-0,003%) обнаружены спектральным анализом штучных проб на многих участках проявленияй медной и полиметаллической минерализации (2, 6, 18, 24, 27).

Отсутствие в районе ультраосновных и габбро-нормитовых пород не позволяет положительно оценить перспективы территории листа на никель. Однако он может представлять некоторый интерес при комплексной разработке месторождений меди и полиметаллов.

#### Кобальт

Спектральным анализом штучных проб кобальт (0,001-0,006%) установлен в скарнах на Курбинском рудообразовании меди (2,1%), а также на некоторых других участках рудообразования меди и по-

литметаллов (6, 18, 24, 33). Минералогическим анализом штучной пробы знаки кобальтина обнаружены в скарнах на Бурундино-рудообразовании меди. Кроме того, в одном из них из русловой аллювиальной р. Олондо отмечены редкие знаки кобальтина.

Кобальт не имеет самостоятельного значения в пределах пло-щади листа, тем не менее он может представлять интерес при раз-работке медных и полиметаллических месторождений.

#### Мышьяк

Спектральным анализом бороздовой пробы в скарнах Бурундино-рудообразования меди обнаружен мышьяк (0,3-1%). Минерало-гических анализом в них установлены знаки арсенопирита. В рудообразованных скарнах на Назаровском полиметаллическом рудообразовании в пиритизированных горючих немуйканской свиты на право-береге р.Бурунды спектральным анализом обнаружено 0,01% мышьяка. Шлаковым опробованием в русловом аллювии левого притока р.Танчи в одном из них установлены редкие знаки арсенопирита. Коренным источником сноса его, по-видимому, являются породы из зоны пиритизации.

Мышьяк не имеет самостоятельного значения в районе, но представляет интерес как спутник медной и полиметаллической минерализации.

#### Благородные металлы

##### Золото

Золото в количестве редких знаков установлено в 12 листах из русловой аллювиальной рек Курьи, Илжан, Бурунды, Мал.Комуя, верховье Больш.Комуя, Улдана, Гончана и Танчи.

Коренными источниками золота, вероятно, являются скарновые и гидротермально измененные (пиритизированные) породы. В пределах площади листа в них не обнаружено золоторудной минерализации (минералогическим анализом). Однако в непосредственной близости, севернее (5-10 км), в бассейнах рек Большой и Мал.Комуя в пиритизированных породах в эндоконтактах джукурских и верхнемеловых гранитоидов пробирным анализом установлены следы золота (Бильянов и др., 1962). Западнее (15 км), в верховьях р.Майль (левый приток р.Челасин), в скарнах на кон-

такте с джугнурскими гранитоидами минералогическим анализом

протолочки обнаружен знак золота (Станев и др., 1963).

Тот факт, что в результате геологосъемочных работ на пло-  
щади листа не было выявлено коренных источников сноса золота,  
в сочетании с тем, что золото на соседних территориях в анало-  
гичной геологической обстановке в скарах и пиритизированных  
породах было обнаружено в весьма незначительных содержаниях

(Ельянов и др., 1962; Станев и др., 1963) не позволяет вы-  
соко оценивать перспективы района в отношении коренной золото-

рудной минерализации.

Относительно россыпного золота следует отметить, что оп-  
робование подтвердило в основном поверхностные горизонты ал-  
лювия. Поэтому не исключена возможность нахождения в нижних  
горизонтах аллювиальных отложений мелких россыпей с концен-  
тром содержанием металла.

#### Р е д к и е м е т а л л и

##### Олово

Редкие знаки самородного олова отмечены в единичных шли-  
ках из руслового аллювия правых притоков рек Алдана и Агай.  
Коренными источниками сноса самородного олова здесь могут быть  
породы зон пиритизации, в которых оно на территории листа из-  
редка устанавливается минералогическим анализом (пиритизован-  
ные порфириты некийканской свиты на юго-западных склонах горь-  
ца Короба).

Спектральным анализом повышенные концентрации олова уста-  
новлены в скарах Бурундинского проявления меди (0,01%) и по-  
данным металлометрического опробования на Назаровском полиме-  
тальическом и Гоночанском боровом рудопроявлении (0,1%).

Отсутствие в пределах площади листа ультракислых интрузий  
позволяет дать отрицательную оценку перспектив района на олово.

##### Вольфрам

Шеелит в количестве 10,2 г/т обнаружен минералогическим  
анализом в протолочке из скаров Куринского рудопроявления  
молибдена. Кроме того, он установлен в единичных шликах в зна-  
ках и редких знаках в русловом аллюве Бурундя, Гоночана и Наг-

даны, Тугурамы, верховьев Танчи, Балыкчана (много). При этом  
основными источниками сноса шеелита в бассейне рек Бурунда,  
Гоночан и Нагданы являются, по-видимому, скары и скарирован-  
ные породы, в бассейне Балыкчана (много) и Танчи - джугнурские  
гранитоиды, в бассейне Тугурамы - верхнемеловые граниты; в ука-  
занных интрузивных породах шеелит является акессорным минера-  
лом.

Низкие содержания шеелита в скарах и интрузивных образо-  
ваниях района не позволяют дать положительную оценку перспек-  
тив территории листа на вольфрамовое оруднение.

##### Молибден

На площади листа известно одно рудопроявление молибдена,  
расположенное в верховых р. Куры (1). Здесь в экзоконтакте  
верхнемеловой интрузии крупнозернистых гранитов, в 0,2 км южнее  
рудопроявления меди в скарах гипс встречены оломки гранатовых  
скаров с крупными изометричными зонарными кристаллами коричнево-  
бурового граната (до 3 см в поперечнике) и мелкозернистых ска-  
рированных эпидот-пироксеновых tremolit-содержащих пород, обра-  
зовавшихся по жильным породам основного состава. В последних  
содержится вкрашенность мелких листочек молибдена. Минера-  
логическим анализом протолочки в них установлены молибденит  
(17 г/т), шеелит (10,2 г/т), баводисмутит (13,6 г/т), халько-  
пирит - знаки, сфен (74,2 г/т). По данным химического анализа  
штрафной пробы, содержание молибдена в скарированных породах  
составляет 0,054%. Спектральным анализом установлено присутст-  
вие следующих элементов (в %): марганец 0,3-1, никель, кобальт,  
вяндий, цирконий, медь, серебро, олово, галий по 0,001-0,003,  
свинец и мысмут по 0,03-0,1, титан 0,1, фосфор 0,1-0,3, строн-  
ций и барий по 0,03.

Низкое содержание молибдена и ничтожные масштабы мине-  
рализации позволяют дать отрицательную оценку описанному прояв-  
лению.

В шликах молибденит встречается редко и в незначительном  
количестве (редкие знаки). Нахodka его известна в верховых  
рек Джагда, Илкчан, Джагдак-Аланда, Танчи, Гоночан, Тугур-  
ма и Ирганы. Интерес представляет небольшой ореол молибдена  
в верховых р. Улкан (25), где развиты джугнурские гранитоиды.  
Здесь в небольшом правом распадке в 3 шликах из 6 взятых от-

мечены редкие знаки молибдена. Последний отмечается также в шлихах вышеуказанного распадка и ниже его. Здесь же в левых распадках в двух шлихах отмечены редкие знаки вульфенита. Количественные источники сноса минералов молибдена остались невыясненными.

В пределах площади листа широким развитием пользуются вулканические образования, преимущественно среднего состава, которые прорваны гранитоидами гранодиоритового ряда. Это создает весьма благоприятную обстановку для проявления гидротермальной прожилково-жиральной медно-молибденовой минерализации. Таким образом, перспективы района на молибден могут быть оценены положительно.

#### Ниобий

Минералы ниобия — поликраз и пирохлор — в шлихах встречаются очень редко. Редкие знаки их в единичных шлихах известны в бассейнах рек Былыхан (северный и южный), Бол.Колык, правых притоков Бырандак и Ахтана, Танчи, Архай. Коренными источниками сноса минералов ниобия являются, по-видимому, верхнемеловые гравититы и среднепротерозойские граносенинты, в которых минералы ниобия являются акцессорными.

Низкие содержания минералов ниобия в шлихах, малые содержания элемента в интрузивных породах (по данным спектрального анализа), а также отсутствие в пределах площади листа интрузивных комплексов ультраосновного и щелочного состава, с которыми обычно ассоциируют месторождения ниобия, позволяет дать отрицательную оценку перспектив территории листа на ниобий. Этот вывод не распространяется только на интрузии среднепротерозойского комплекса, в пределах которых отмечается проявление кремне-натрового метасоматоза-процесса, с которым теоретически могут быть связаны концентрации ниобия.

#### Редкие земли

На территории листа известно несколько коренных гидротермальных рудообразований редких земель. Все они сосредоточены на северо-востоке описываемой площади в бассейне р.Былыхан.

Рудоносными породами являются, во-первых, среднепротерозойские интрузивные образования и, во-вторых, нижнемеловые кис-

лые эффиузивы. Среднепротерозойские граносенинты, сиениты, гранодиориты и диорит-сиениты, слагающие крупное субдистовое тело, интенсивно динамометаморфизованы. Рудная минерализация в них приурочена к монолитной зоне дробления, которая протягивается в север-северо-восточном направлении на 8-9 км. Здесь имеется два обогащенных полезными компонентами участка.

Участок Былыхан - I (14) расположен на водоразделе левой и правой составляющих р.Былыхан, вблизи их слияния. Мощность зоны дробления здесь составляет 8-20 м, протяженность минерализованного участка около 1800 м. Гнейсомидные граносенинты здесь интенсивно окварцированы, обожжены и флюритизированы. Спектральным анализом точечных проб в них установлено постоянное присутствие циркония, иттрия и иттербия в количестве сотых долей процента, следы молибдена, синда, мели, серебра и олова.

Минералогическим анализом шлихов из протолочек в рудоносных породах обнаружены следующие полезные минералы: фторкарбонат редких земель в количестве до 14 г/т, флюорит, обогашенный торием, до 70 г/т, цирконит до 84 г/т, поликраз и пиромагнетит, ортит, молибденит, галенит — редкие знаки, налеты урановых минералов.

Южно-Былыханский участок (17) расположен в 1500 м восток-юго-восточнее высоты 1341,0. Простирание зоны минерализации северо-восточное (45-60°), падение северо-западное под углом 60-70°, мощность 250 м, протяженность 1,2-1,5 км. Умистским анализом бороздовой пробы в рудах установлено присутствие суммы редких земель в количестве до 0,16-0,14%.

Рудообразование редких земель в фельзитах, фельзит-порфирах и туфах матейской свиты находится на водоразделе рек Былыхан и Джагдак-Аланчака (13). Здесь вдоль трещин северо-западного простирания отмечены мелкие (0,5-1,0 м до 4,5 м) гнейзовидные тела минерализованных красных фельзитов. Полезные минералы представлены уранитом, содержащим иттрий и иттербий. Минерализация сопровождается окварцеванием и гематитизацией пород, а также жираллическостью молибдена и пирита.

Минералы редких земель широко распространены и в алловиальных образцах ониксах района.

Шлиховым опробованием установлены ортит, монацит, ураноторит, орангит (торит), элксенит.

Наибольшим распространением из них пользуется орбит, ко-

торый в количестве знаков и редких знаков находитесь почти по всем водотокам. В связи с этим, шихи, содержащие орбит, не показаны на карте полезных ископаемых. Основными коренными ис-

точниками сноса орбита являются мезозойские гранитоиды, в ко- торых он является акцессорным минералом.

Сравнительно малоизвестные шихи с редкими знаками мона- цита локализуются в общем на тех участках, где развиты массивы среднепротерозойских граносенитов и кварцевых порфиров, в ко- торых он является акцессорным минералом (в протолочке из гра-

носенитов установлен монадит в количестве 3 г/т). Намечается один шиховой ореол монадита в бассейне р.Бильячан (северный; 15).

Знаки ураноторита в шихах встречаются сравнительно часто. Намечается приуроченность ураноторита к аллювию участков раз- вития верхнемеловых гранитов, в которых он присутствует в каче- стве акцессорного минерала. Здесь, в бассейнах правобережья Ал- домы и Биранджи (44), правой составляющей Танчи (39), в верховь- ях Андаки З-я (23) выделяются три шиховых ореола ураноторита.

Редкие знаки торита встречаются всего в трех шихах в пра- вом притоке Нагданы на площади развития джугджурских гранито- дов. Источники его сноса остались невыясненными.

Редкие знаки эзосенита обнаружены в нескольких шихах в бассейне р.Алдомы и, вероятно, связаны с верхнемеловыми гра- нитами, в которых эзосенит, по-видимому, является акцессорием.

Перспективы района на редкие земли можно оценить полу- тельно, что обусловлено высокими содержаниями полезных компо- нентов на выявленныхрудопроявлениях и значительными размерами зон рудной минерализации. Наиболее перспективными являются уча- стки Бильячан-1 и Южно-Бильячанский.

#### Ртуть

На территории листа на левобережье р.Бол.Кумуй известен небольшой шиховой ореол киновари (12). Единичные знаки послед-ней обнаружены в 4 шихах из 14-ти взятых в русловом аллювии небольшого ключа. Благоприятная для ртутной минерализации гео- логическая обстановка (серия различных нарушений в доломитах юрской свиты, перекрытих породами нешуйской свиты) по- зволяет считать находку киновари в шихах интересной и рекомен- довать проведение здесь поисков коренных проявлений ртути.

Кроме того, редкие знаки киновари обнаружены в двух ши- хах в низовьях нижнего левого притока р.Алдома. Источником сно- са их, вероятно, являются зоны дробления вдоль линий разломов. Большое количество разрывных нарушений в пределах площа- дли листа, которые часто сопровождаются зонами дробления, а так- же находки киновари в шихах позволяют положительно оценить перспективы района на ртуть.

#### Висмут

Из минералов высушила на территории листа известен только базобисмутит. Он установлен в русловых скарнах Курьинского про- явления молибденита в количестве до 13,6 г/т (1) и в пиритизи- рованных породиритах немецкой сини (редкие знаки) в вер- ховьях Гоночана. Последние, по-видимому, являются коренными источниками сноса базобисмутита в аллювиев верховьев Гоночана (редкие знаки в одном шихе).

Кроме того, редкие знаки базобисмутита встречены в оди-nom шихе р.Ирканы.

Малочисленные и незначительные проявления висмута не по- зволят положительно оценить перспективы района на висмут.

#### Цирконий

Минералогическим анализом протолочки граносенитов на участке рудопроявления редких земель (Бильячан-1) установлено 84 г/т цирконита. На Гоночанском рудопроявлении бора в скарнах минералогическим анализом протолочки обнаружены 2 г/т циртоли- та. В аллювиальных отложениях минералы циркона - циртолит и малакон, содержащиеся в знаках, редких знаках и весовых коли- чествах, имеют довольно широкое распространение. Известна одна находка (Гоночан) редких знаков циртолита.

Циртолит и малакон приурочены, главным образом, к площа- дям развития верхнемеловых гранитов и среднепротерозойских гра- носенитов, в которых они являются акцессорными. На этих участ-ках выделяются семь шиховых ореолов минералов циркона - бас- сейн правобережий Алдомы и Биранджи (44), верховьев р.Архай (30), правой составляющей Танчи (39), среднего течения р.Ирка- на (42), бассейн рек Бильячан - Бол.Кумуй (15; 23), в верховьях

р. Аннда-1 (22). Самостоятельного значения цирконы в районе не имеет, но может представлять интерес при разработке месторождений редких земель.

#### Германий

Площадным металлометрическим опробованием на Гончанском рудопроявлении бора выявлен ореол рассеяния герmania с содержанием 0,01%. Самостоятельного значения германиевая минерализация в районе не имеет, однако он может представлять интерес при комплексной разработке боровых, полиметаллических и медных месторождений.

#### НЕМЕТАЛЛИЧЕСКИЕ ИСКОПАЕМЫЕ

##### Х и м и ч е с к о е с и р ь е

###### Боросиликаты

На территории листа известно проявление боровой минерализации контактного-метасоматического генезиса, расположенного в верховьях первого сверху правого притока Гончана (35).

Здесь доломит ципандинской свиты прорван верхнемеловыми микролегматитовыми гранитами, обраzuющими небольшой, овальный в плане шток площадью около 0,250 км<sup>2</sup>. Экзоконтакт штока сложен гранатовыми, магнетит-гранатовыми, магнетит-гранат-пироксеновыми, магнетит-пироксеновыми и пироксеновыми скарнами. К некоторым разновидностям скарнов приурочена лодыгитовая минерализация.

На северном и северо-западном контактах интрузии с вмещающими доломитами зона экзоконтакта достигает в ширину 70–80 м при протяженности в 200 м. В этой части экзоконтакта развиты магнетит-гранат-пироксеновые скарны с рассеянной вкрапленностью лодыгита. В западной, окраинной части экзоконтактного ореола прослеживается лугобобразная полоса пироксеновых и магнетит-пироксеновых скарнов с боровой вкрапленностью (в среднем до 50% породы) лодыгита и нередко мономинеральными скоплениями последнего размером до 30–50 см. Ширина этой полосы 10–15 м, протяженность 50–60 м, простижение южной части полосы северо-западное, северной – меридиональное.

По данным химического анализа шести штучных проб, отобранных из зоны пироксеновых и магнетит-пироксеновых скарнов с обильной вкрапленностью лодыгита, содержание олиса бора в четырех пробах составляет 0,34–0,46%, а в двух достигает 6,35 и 5,17%.

Минералогическим анализом искусственноенного шихта из площадной точечной пробы, отобранный из магнетит-гранатовых скарнов, установлено присутствие следующих минералов: лодыгит 118 г/т, галенит 0,3 г/т, вульфенит – знаки, церуссит – знаки, сфалерит – знаки, малахит – редкие знаки, торит – редкие знаки, циртолит 2 г/т, а также магнетит, пирит, гематит, гранат, пирит, циркон.

Спектральным анализом металлометрических проб на участке развития скарнов установлены высокие концентрации меди (более 1%), свинца (до 0,1%), олова (0,1%), никеля (значительно более 1%), марганца (значительно более 1%), герmania (до 0,01%).

Большие содержания окиси бора, превышающие кондиционные для такого типа руд, и вероятность продолжения бороносных скарнов за пределы детально обследованного участка позволяют весьма высоко оценивать перспективность Гончанского борового рудопроявления.

Кроме описанного Гончанского участка, лодыгитовая минерализация отмечается в зонах пиритизации в верховьях Гончана и на правобережье Алдомы. Минералогическим анализом протолочки в пиритизированных порфиритах немуйканской свиты в верховьях р. Гончан обнаружены знаки и редкие знаки лодыгита. В пиритизированных фельзитах магейской свиты на правобережье р. Алдомы минералогическим анализом протолочки установлено 370 г/т лодыгита.

Редкие знаки лодыгита отмечены в одном шлифе в верховьях правой составляющей Гончана выше того притока, где расположено Гончанское рудопроявление.

Присутствие бора установлено также в породах экзоконтактного ореола верхнемеловой интрузии в верховьях р. Курья. Поданным полуколичественного спектрального анализа штучных проб, содержание бора в трехдомитизированных и мраморизованных доломитах составляет 0,01–0,06%, нередко достигая 0,1–0,3%, в рудных скарнах превышает 1%. Эти данные, хотя и не подтверждены в настоящее время минералогически, представляют несомненный интерес.

Широкое развитие в пределах площади листа магнезиальных скарнов, слагающихся для боровой минерализации, позволяет высоко оценить перспективы района на бор. Высокое содержание окиси бора в скарнах Гоночанского проявления свидетельствует о хорошем качестве руд и еще более повышает перспективы территории листа. Наибольшего внимания заслуживает участок Гоночанско-го рудопроявления бора.

## СТРОИТЕЛЬНЫЕ МАТЕРИАЛЫ

### Извещенные породы

#### Граниты, гранодиориты

На развитых на территории листа разнообразных интрузивных пород кислого состава как полезные ископаемые представляют интерес граниты и гранодиориты джульджурского интрузивного комплекса. Они характеризуются большой механической прочностью (временное сопротивление скатию 100 кг/см<sup>2</sup>), массивностью, хорошими декоративными качествами и могут быть использованы в качестве бутового и штучного камня, для производства щебня и облицовочного материала. Повсеместно граниты и гранодиориты обнажены на поверхности и могут разрабатываться открытым способом. Залежи их практически неисчерпаемы.

На карте полезных ископаемых месторождения гранитов и гранодиоритов показаны в двух участках, наиболее удобных для транспортировки. Первый участок (3) располагается на водоразделе рек Дзагда и Билькачан вблизи р. Челасин. Второй находится на водоразделе Гоночана и Ашомы (36).

#### Карбонатные породы

##### Известники

Некоторые разности известняков лаханинской свиты могут служить хорошим строительным материалом. Величина временного сопротивления сжатию у этих пород достигает 350 кг/см<sup>2</sup>. Наряду с этим они легко поддаются механической обработке. Массивные известьяки лаханинской свиты могут употребляться в качестве штучного и бутового камня.

#### Доломиты

Из доломитов, развитых в пределах территории листа, в качестве флюсов для металлургической промышленности могут быть использованы доломиты ципандинской свиты. Содержание в них MgO колеблется от 17,26 до 18,11%, CaO от 30,09 до 30,52%, Al<sub>2</sub>O<sub>3</sub> от слюд 0,15%, фосфора и серы – не более 0,02%, SiO<sub>2</sub> от 0,73 до 1,68%.

Кроме того, доломиты ципандинской свиты (так же как и доломиты энинской и юломской свит) могут быть использованы в качестве бутового и такелажного камня, щебня для дорожного строительства.

Высокое содержание кремнезема в доломитах энинской и юломской свит (10–20%) не позволяет их рекомендовать для применения в химической и металлической промышленности.

Доломиты ципандинской свиты широко развиты в бассейнах рек Джалга, Бурунда, Олондо, Архай, Гоночан, где они могут разрабатываться открытым способом. Залежи наиболее удобные для транспортировки известны в бассейне р. Негделик (29).

#### О сломочные породы

##### Галька и гравий

Скопления гальки и гравия, пригодные для использования в качестве балластного сырья, распространены практически по длине всех рек района, где они могут разрабатываться открытым

методом. Олондо, Бурунда, Архай, Гоночан. Наиболее удобные для транспортировки залежи массивных известников четвертой половины лаханинской свиты развиты на левом берегу р. Архай (28). Размер отдельных монолитных глыб достигает 0,5 м<sup>3</sup>.

Высокое содержание кремнезема (до 6,89%) в известняках не позволяет рекомендовать их для металлургической и химической промышленности. Благодаря высокому содержанию CaO (41,23–54,69%) известняки, по-видимому, могут быть использованы в цементной промышленности, а также для обжига на известь.

способом без вскрытия. Наиболее удобной для транспортировки является долина р.Челсан. Здесь в русловых аллювиальных отложениях близ устья р.Бурунда (19) и устья р.Гоночан (26) имеются значительные по масштабам залежи гальки и гравия, имеющие форму вытянутых ящиков длины мощностью до 2,5-3 м, протяженностью до 1-1,5 км и шириной 200-300 м.

Галечниковые отложения характеризуются сравнительно хорошо преобладают гальки и валуны механически прочных пород (андезиты, жильные породы, песчаники, гранитоиды). Гранулометрический состав гальки и гравия характеризуется следующими цифрами: размер частиц более 5 см - 4%, 5-1 см - 67%, 1-3 см - 24%, 3-0,5 см - 3%, 0,5-0,001 см - 2%, менее 0,001 см - нет.

#### Песчаники

Наиболее пригодными в качестве строительного материала являются песчаники каньонской свиты. Они разбросаны в бассейне р.Бол.Комы и Архай, где могут разрабатываться открытым способом. Удобные для транспортировки залежи песчаников находятся в бассейне р.Бол.Комы (9). Здесь они обнаруживаются в виде сплошных крупноглыбовых альвашальных и лемешальных осипей и изредка коренных выходов на значительной (около 30-40 км<sup>2</sup>) площасти. Размеры глыб достигают 1 м<sup>3</sup>. Песчаники кварцевые с кальциевым цементом, породы массивные мелко- и тонкозернистые, белого цвета, характеризуются высокой механической прочностью и однородным составом. Содержание SiO<sub>2</sub> достигает 98,47%, Al<sub>2</sub>O<sub>3</sub> не превышает 1%, кислотоупорность по Загер-Крамеру - 2,9. Указаные свойства кварцевых песчаников позволяют считать возможным их использование как сырья для производства кислотоупоров и динасовых огнеупоров, а также в качестве бутового камня и щебня.

#### ОБЩАЯ ОЦЕНКА ПЕРСПЕКТИВ РАЗРАБОТКИ МИНЕРАЛЬНО-СЫРЬЕВОЙ БАЗЫ РАЙОНА

Широкое развитие в пределах площади листа различных, преимущественно кистевых интрузий, интенсивное проявление kontaktово-метасоматических процессов, часто приводящих к образованию

рудноносных склонов, большое количество разрывных нарушений, сопровождающихся зонами дробления и гидротермально переработанных пород, создают благоприятную обстановку для разнообразной рудной минерализации. Перспективы территории листа для всех выявленных полезных ископаемых даны выше при их описании. Наиболее высоко оцениваются перспективы в отношении возможности выявления контактово-метасоматических и гидротермальных типов руд меди, полиметаллов, бора, редких земель, а также молибдена и ртути. Геологическая обстановка и имеющиеся многочисленные проявления полезных ископаемых позволяют рекомендовать проведение геологической съемки масштаба 1:50 000 на всей площасти листа.

Одной из характерных черт района является наличие нескольких наиболее важных, узловых участков, которые в первую очередь требуют проведения детальных поисковых работ. Это участки Назаровского и Былкачанского рудопроявлений полиметаллов, Бурундина и Курьянского проявления меди, Гоночанского рудопроявления бора и Былкачанских рудопроявлений редких земель.

Наибольший интерес представляют Назаровское и Гоночанское рудопроявления. Они расположены всего в 4 км друг от друга и, помимо высоких содержаний основных компонентов (полиметаллов и бора), характеризуются разнообразной рудной минерализацией. Так, в пределах Назаровского рудопроявления установлены значительные содержания олова, серебра, молибдена и никеля. На участке Гоночанского проявления выявлены высокие концентрации меди, свинца, олова, никеля, герmania, циркония. Кроме того, четкий шлиховой ореол минералов свинца в верховьях рек Гоночан и Нагданья свидетельствует о том, что помимо Назаровского и Гоночанского, здесь возможно выявление новых проявлений полиметаллического оруденения kontaktово-метасоматического или гидротермального генезиса. Безусловно целесообразно проведение детальных поисковых работ на участке, включающем Назаровское и Гоночанское рудопроявления и охватывающим верховья рек Нагданья и Гоночан. При этом для более полной оценки выявленных рудопроявлений необходимы горные работы (канавы) и бороздовое одорбование. В связи с тем, что на Гоночанском рудопроявлении ложногит ассоциируется с магнетитом, с целью поисков новых рудопроявлений бора, необходимо проведение магнитной съемки.

Бурундинский и Курьянский участки характеризуются значительными площадями развития контактово- и гидротермально измен-

ненных пород, достаточно высокими содержаниями меди, а также весьма интересной полутонкой рудной минерализацией. На Бурундино- ском проявлении помимо меди выявлены значительные концентрации мышьяка, на Куринском — молибдена и бора. При проведении поисковых работ на этих участках необходимо детальное исследование всей зоны контакто-измененных пород, а также широкое применение горных работ (канав и шурfov).

Былакчанско-рудопроявление полиметаллов представляется перспективным, так как это отмечалось выше, в связи с пластовой формой и размерами рудного тела. Здесь необходим большой объем горных работ и опробования.

Участок Былакчанского рудопроявления редких земель представляется весьма интересным, в связи со значительными размерами зон дробления и гидротермальной переработки пород, высоким содержанием редких земель. При разработке месторождений определенный интерес может представлять и цирконий. При дальнейших поисковых работах здесь необходим большой объем опробования, которое целесообразно проводить в уже имеющихся старых горных выработках. Кроме того, в связи с повышенной гамма-активностью зон редкоземельной минерализации, необходимо проведение радиометрической съемки.

## ПОДЗЕМНЫЕ ВОДЫ

Большую роль в характере и распределении подземных вод играет многолетняя мерзлота. В связи с широким распространением последней легко поддаются изучению лишь надмерзлотные воды.

Мощность деятельного слоя изменяется в зависимости от экспозиции и залесенности местности от 0,2-0,3 до 6-8 м.

В рыхлых четвертичных отложениях циркулируют фильтрационные воды. Водоупором для них служит многолетняя мерзлота или ложе коренных пород. Приток этих вод осуществляется, главным образом, за счет атмосферных осадков и оттаяния многолетней мерзлоты. Наиболее обильно насыщены грунтовыми водами современные аллювиальные и ледниковые отложения.

В коренных породах наблюдаются фильтрационные (трещинные воды). Однако, в связи с широким развитием многолетней мерзлоты, эти воды не имеют существенного значения. Источников флюидов, а также вод мало, действуют их незначителен и не превышает нескольких литров в час.

Подмерзлотные воды циркулируют на участках развития трещиноватых пород, прирученных, главным образом, в зонах разрывных нарушений. Подмерзлотные воды, по-видимому, характеризуются постоянным режимом, выходя из поверхности обычно фиксируются многочисленными наледями в долинах рек. Наиболее крупная наледь расположена в долине р.Архат, длина ее достигает 6-7 км, ширина - 1-1,5 км, толщина льда - 4-5 м.

На настоящей стадии изученности в целях водоснабжения в первую очередь можно рекомендовать воды поверхности водоемов, а также воды современных аллювиальных и ледниковых отложений. Зимой наиболее крупные реки, такие как Челасин, Бол. Коний, Алсона не промерзают до dna. Вода характеризуется хорошими качествами, она очень чистая, прозрачная, холодная, без запаха, приятная на вкус. Тип вод карбонатно-сульфатный кальциево-натриевый, общая минерализация от 28 до 230 мг/л. Преобладают ультрапресные воды с минерализацией от 28 до 65 мг/л.

## ЛИТЕРАТУРА О ПУБЛИКАЦИЯХ

Дзениновский Ю.К. Геология восточной окраины Алданской платформы. - В кн.: Материалы по геологии и полезным ископаемым Восточной Сибири, вып.19. Алдан, 1946.

Морлев В.И., Ставцев А.Л. Основные черты тектоники восточной окраины Алданского штафа и сопредельных областей. Тр. ВАГТ. Госгеотехиздат, 1961.

Шпак Н.С., Толль Е.Р. В.И., Нухин С.В., Самозвалцев В.А. Геологическая карта СССР масштаба 1:1 000 000, лист 0-53. Объяснительная записка. Госгеотехиздат, 1962.

Яромлюк В.А. Протерозой восточной части Алданской плиты. Госгеотехиздат, 1946.

## ФОНДОВАЯ

Алексеев В.Р., Баранова М.С., Павлов Е.П. Вопросы стратиграфии раннекайнозойских, палеогеновых и позднекайнозойских отложений юго-восточного фланга Сибирской складчатости. Геология СССР, 1962, № 10.

У Работы, местонахождение которых не указано, хранятся в геологическом фонде объединения "Аэрогеология".

среднепалеозойских отложений бассейна верхнего течения р.Мая.

Отчет по работам 1960 г. 1961.

Б о г о р о д и ц к а я З.Ф., Г р и л и н е в К.П., З л е н к о Н.Д., М о н а с т и р с к и й В.Г. Геологическое строение центральной части хребта Джугнур. Отчет по работам 1957 г. 1958.

Г о л ъ д е н б е р г В.И., Н е в о л и н Б.С., Г р и - г о р а т Г.Ф., П у г а ч е в а И.П. Геологическое строение хребтов Джугнур, Промежуточный, Приордний. Отчет по работам 1958 г. 1959.

Г о л ъ д е н б е р г В.И., Н е в о л и н Б.С., П у - г а ч е в а И.П., Г р и г о р а т Г.Ф. Геологическая карта СССР масштаба 1:200 000, лист 0-53-ХХХI. Объяснительная за- писка. М., 1971.

Е л ь я н о в А.А., Б а р а н о в а М.С., К а л и - м у л и н а Р.Н., П е т р о в а М.Г. Геологическое строение и полезные ископаемые района нижнего течения р.Челасин. Отчет по работам 1961 г. 1962.

Л о с е в А.Г., С а м о з в а н ц е в В.А., Л о б а - н о в а А.Ф., Р у н о в Б.Е., С а м о з в а н ц е в а З.М., Ш и л и н а С.Е., С к о т а р е н к о В.В. Геологическое строение бассейна среднего течения р.Юдомы. Отчет по работам 1958 г. 1959.

М и л ъ т о А.Н., Е л ь я н о в А.А., З л о р и к Т.Б., М о р а л е в В.М., Л а р и о н о в В.А. Геологическое строение и полезные ископаемые Горноозерского месторождения. Отчет по работам 1959 г. 1960.

М о р а л е в В.М., Т а р х о в а М.А., Ч е п и х и - на К.Г. Геологическое строение центральной части хребта Джугнур. Отчет по работам 1957 г. 1958.

С к о т а р е н к о В.В., Р е м и з о в а С.Т., С к о т а р е н к о С.Д., М о р а л е в В.М. Геолого-гео-морфологическое строение и полезные ископаемые долины р.Май. Отчет по работам 1962 г. 1963.

С т а в ч е в А.Л., П о л о в М.Н., Т а р х о - в а М.А., Ч е п и х и на К.Г. Геологическое строение и полезные ископаемые бассейна среднего течения р.Сев.Уй. Отчет по работам 1959 г. 1960.

С т а в ч е в А.Л., Т а р х о в а М.А., Ч е п и - х и на К.Г., Б е а р М.А. Геологическое строение и полез-

ные ископаемые центральной части хребта Джугнур. Отчет по работам 1960 г. 1961.

С т а в ч е в А.Л., А л е к с е е в В.Р., К а н а - е в А.П. Геологическое строение и полезные ископаемые между-речья Челасина и Батомты. Отчет по работам 1961 г. 1962.

С т а в ч е в А.Л., А л е к с е е в В.Р., К а н а - е в А.П. Геологическое строение и полезные ископаемые между-речья Челасина и Батомты. Отчет по работам 1962 г. 1963.

С н с о е в В.А., О г а # Т.А. Отчет Джугнурской поисковой партии за 1961 г. Фонд ДВГУ, Хабаровск, 1962.

Т е р е н т ъ е в В.И., Р у д н и к В.А. Отчет о результатах тематических геологических исследований в районе центральной части хребта Джугнур. Фонд ВСЕГЕИ, Ленинград, 1959.

У с т и л е в Е.К. Мезоокайзийские и мезо-канайзийские интрузии Северо-Востока СССР. т.П., раздел 2. Руконось. Фонд СВГУ, Магадан, 1952.

Х е р у в и м о в а Е.Г., Л а р и о н о в В.А., Б о - т е з а т у В.А. Отчет по аэромагнитным работам в Аян-Майском районе. 1958.

Ш и л к а н о в а О.Ф., И р м о л о в В.А. Материалы по Аян-Майскому рудному району. Руконось. Фонды ДВГУ, Хабаровск, 1952.

Приложение I

СПИСОК МАТЕРИАЛОВ, ИСПОЛЬЗОВАННЫХ ДЛЯ СОСТАВЛЕНИЯ  
КАРТЫ ПОЛЕЗНЫХ ИСКОПАЕМЫХ

№ п/п	Фамилия и инициалы автора	Название работы	Год состав- ления ма- териала, или издания		Местонахож- дение ма- териала, его фондо- вый № или место из- дания
			1	2	
1	Моралев В.М., Тархова М.А., Чешихина К.Г.	Отчет по работам партии № 1 экспе- диции 2 ВАГТ за 1957 г., т.1, ч.1 (рукопись)	1958	Фонд объе- динения "Аэрогео- логия", №9 ВГФ	
2	Богородицкая З.Ф., Гридин В.И., Зленко Н.Д., Монастырский В.Г.	Отчет по работам партии № 2 экспе- диции 2 ВАГТ за 1957 г., т.1, ч.1 (рукопись)	1958	То же	
3	Станцев А.Л., Тархова М.А., Чешихина К.Г., Беэр М.А.	Отчет по поиско- вым и редакцион- но-увязочным ра- ботам партии № 4 экспедиции 2 ВАГТ за 1960 г. (рукопись)	1961	То же, № 107	
4	Алексеев В.Р., Баранова М.С., Павлова Е.Е.	Отчет по работам партии № 9 экспе- диции 2 ВАГТ за 1960 г. (руко- пись)	1961	То же, № 155	

1	2	3	4	5
5	Сисоеев В.А. Драш Т.А.	Отчет Джугджурской поисковой партии за 1961 г. (рукопись)	1962	Фонд ДВГУ, Хабаровск

Приложение 2

СИСТОМЫ ПРОМЫШЛЕННЫХ МЕСТОРОЖДЕНИЙ ПОЛЕЗНЫХ ИСКОПАЕМЫХ,  
ПОКАЗАННЫХ НА ЛИСТЕ 0-53-XXX КАРТЫ ПОЛЕЗНЫХ ИСКОПАЕМЫХ  
МАСШТАБА 1:200 000

№ по кар- те	Индекс клетки на карте	Наименование месторождения и вид полезного ископаемого	Состояние эксплуа- тации	Тип ме- сторож- дения (хоро- шее)	№ ис- пользово- ванного мате- риала по списку (при- лож.)	Приме- нение данного мате- риала
I	2	3	4	5	6	7
<b>СТРОИТЕЛЬНЫЕ МАТЕРИАЛЫ</b>						
<b>И з в е р ж е н и я п о р о д и</b>						
3	I-1	Граниты, гранодиориты				
		Водораздел рек Джалда и Бильгачан	Не эксп- луатиру- ется	K	I	Не раз- виваются
36	III-2	Водораздел рек Гоночан и Айдома	То же	K	2	To же
<b>К а р б о н а т н ы е п о р о д ы</b>						
<b>Известники</b>						
28	III-2	Левый берег р.Архат	Не эксп- луатиру- ется	K	3	"
29	III-2	Верховье р.Негдемик	Не эксп- луатиру- ется	K	3	"

Приложение 3

СПИСОК ПРОЯВЛЕНИЙ ПОЛЕЗНЫХ ИСКОПАЕМЫХ, ПОКАЗАННЫХ  
НА ЛИСТЕ 0-53-ХХ КАРТ ПОЛЕЗНЫХ ИСКОПАЕМЫХ  
МАСШТАБ 1:200 000

1	2	3	4	5
2	I-1	Куринское рудо- проявление. Верховья р.Куря	Вкрапленность халько- пирита в скарах. Содержание мелл 0,3%	I
24	II-3	Левобережье р.Танчи	Скары с халькопири- том (560 г/т), ко- вельном (2 г/т), малахитом и магнети- том (14 кг/т)	I
I	2	3	4	5
20	II-1	МЕТАЛИЧЕСКИЕ ИСКОПАЕМЫЕ Ч е р н ы е м е т а л ы Гематитовые и лимонитовые руды	Характеристика проявления	# исполь- зованного материала по списку (прилож.1)
П-1	Междуречье Бу- рунды и Олондо	Линзовидные прослои желваков бурого же- лезняка промеженно- стью от 1 до 5-10 м, мощностью 5-30 см. Содержание $Fe_2O_3$ – 63,61%	I	
27	III-1	Левобережье р.Гоночан	Рассеянная мелкая вкрапленность халь- копирита и примазки малахита в зоне дробления	I
43	IV-1	В низовых р.Баранда	Рассеянная мелкая вкрапленность халькопирита и примазки малахита в зоне дробления	3
II-1	Бурундинское рудопроявление (верховья р.Бурунды)	В гранатовых ска- нах вкрапленность халькопирита, ма- лахита, ковеллина, борнита, азурита. Содержание меди – 0,44%	Убогая вкрапленность халькопирита (редкие знаки), ковеллина (знаки) в мелких кварцевых жилах	3
38	III-3	Верховья р.Танчи	Убогая вкрапленность халькопирита и мала- хита в мелких квар- цевых жилах	3
7	I-2	Водораздел Джалы и Ильчана	Металлометрический ореол рассеяния	I
16	I-4	Правобережье р.Былжан	То же	I
II	I-3	Верховья р.Джакдак-Аланда	"	2

1	2	3	4	5
40	III-3	Верховья рек Ирганы и Танчи	Металлометрический ореол рассеяния меди и свинца	2
41	III-4	Верховья р.Турманжа	Металлометрический ореол рассеяния	1
33	III-2	Доломитические руды		
4	I-1	Назаровскоерудопроявление. Водораздел рек Гоночан - Нагданья	Халькопирит, малахит, перуссит, вульфенит, каламин в слюдисто-кварцевых и хлоритово-кварцевых жилах. По данным химического анализа, руды содержат медь - 6,39%, свинец - 0,21%, цинк - 1,87%	1
4	I-2	Большое рудопроявление в доломитах ципандровской свиты, имеющих прослои гранатовых скарнов. Содержание свинца 0,51%, цинка 0,16%, меди 0,02%	Галенит и сфalerит в доломитах ципандровской свиты, имеющих прослои гранатовых скарнов. Содержание свинца 0,51%, цинка 0,16%, меди 0,02%	3
4	III-2	Водораздел рек Бильгачан и Улкан	Водораздел рек Бильгачан и Улкан	18
4	III-2	Верховья р.Гоночан	Вкрашенность галенита в кварцевых жилах. Содержание: свинец 1%, цинк 0,7%, медь 0,005%	31
10	I-3	Правобережье р.Джалдак-Аваланда	Вкрашенность галенита, сфalerита, молибдита и малахита в кварцевых жилах. Содержание свинца 0,07%, цинка 0,08%, меди 0,08%	4

1	2	3	4	5
6	I-2	Правобережье р.Бол.Кокуй	Вкрашенность халькопирита и галенита в роговиках. Содержание меди 0,02%, свинца 0,6%, цинка 0,5%	5
34	III-2	То же	Вкрашенность галенита в кварцевых жилах. Содержание: свинец 1%, цинк 0,7%, медь 0,005%	5
32	III-2	"	Шлиховой ореол минералов свинца	1,3
3		Металлометрический ореол рассеяния меди, свинца, цинка, никеля, герmania	Металлометрический ореол рассеяния свинца, меди, цинка, серебра	3
5	I-2	Водораздел рек Джалда и Ильчан	Металлометрический ореол рассеяния свинца	1

1	2	3	4	5
<b>Р е д к и е м е т а л л и ч</b>				
I	I-1	Верховья р.Кулья	Молибден Бериллентность молибдена в скарнах. Содержание молибдена 0,54%	3
25	II-4	Верховья р.Улан	Шиховой ореол молибденита	3
Редкие земли				
I-4	I-4	Участок Бильячан-1. Водораздел рек Вой и правой составляющих р.Бильячан	Редкоземельная минерализация в зоне дробления	I
I7	I-4	Южно-Бильячанский участок. Верховья р.Бильячан	Зона минерализации мощностью 250 м, протяженность 1,5 км в среднепротерозойских граносинеках. Содержание суммы редких земель 0,14-0,16%	30
13	I-4	Водораздел рек Бильячан и Джакдак-Аваланда	Фельзиты малейской синтизации выщелочают мелкие гнеездообразные участки, обогащенные полезными минералами, представляющими уранинитом, содержащим иттрий и иттерий	42

1	2	3	4	5
<b>Шиховой ореол молибдена и циртолита</b>				
15	I-4	Бассейн р.Бильячан	Шиховой ореол молибдена и циртолита	I
44	II-2	Водораздел рек Биранджа и Альдома	Шиховой ореол ураноторита и циртолита	2
39	III-3	Верховья р.Танчи	То же	2
23	II-3	Верховья рек Анджа-2 и Анджа-3	"	I
Ртуть				
12	I-3	Левый приток р.Бол.Комуя (среднее течение)	Шиховой ореол киновари	3
30	III-2	Верховья р.Аргай	Шиховой ореол пиритита	2
42	III-4	Водораздел рек Танчи и Ирканы	То же	2
22	II-2	Верховья р.Аннада-1	"	I

1	2	3	4	5
---	---	---	---	---

## Бор

35

III-2

Тоночанское рудо-  
проявление. Пра-  
вобережье р. Тоно-  
чан

Вкрапленность лиман-  
гита в скарнах на  
контакте верхнемелово-  
ых гранитов с ци-  
пандинскими доломи-  
тами. Содержание  
добра достигает 6,35%

3

## СОДЕРЖАНИЕ

	Стр.
Введение . . . . .	3
Стратиграфия . . . . .	7
Интрузивные образования . . . . .	27
Тектоника . . . . .	44
Петроморфология . . . . .	54
Полезные ископаемые . . . . .	60
Подземные воды . . . . .	84
Литература . . . . .	85
Приложения . . . . .	88

В брошюре пронумеровано 100 стр.

Редактор М.А. Трифонова

Технический редактор Е.М. Павловъ

Корректор М.С. Мехонишна

Сдано в печать 14/III 1975 г.      Подписано к печати 27/I 1978 г.  
Тираж 198 экз.      Формат 60x90/16      Леч. л. 6,25      Заказ 58

Центральное специализированное  
производственное хазрасчетное предприятие  
Всесоюзного геологического фонда